

14.

seminář Bch2

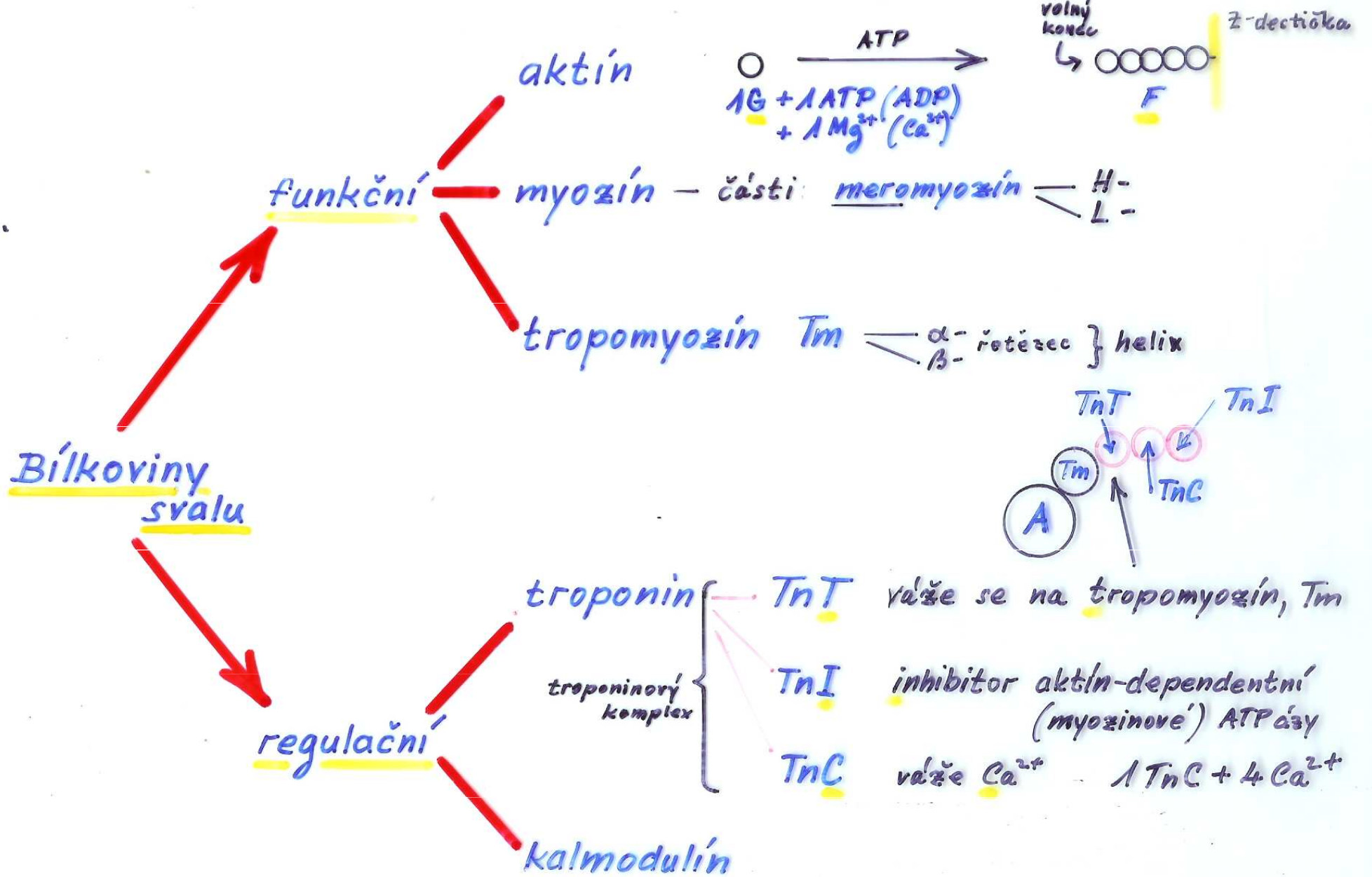
© Biochemický ústav LF MU (V.P.) 2009

BIOCHEMIE SVALOVÉ ČINNOSTI

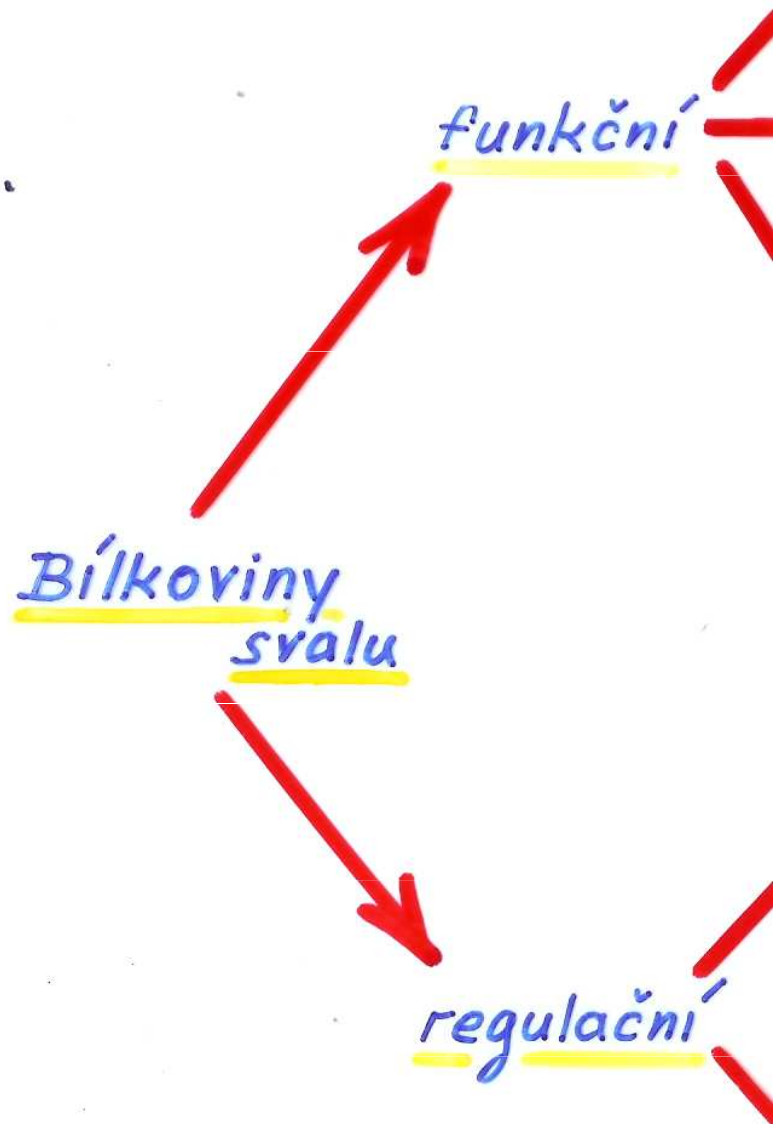
14

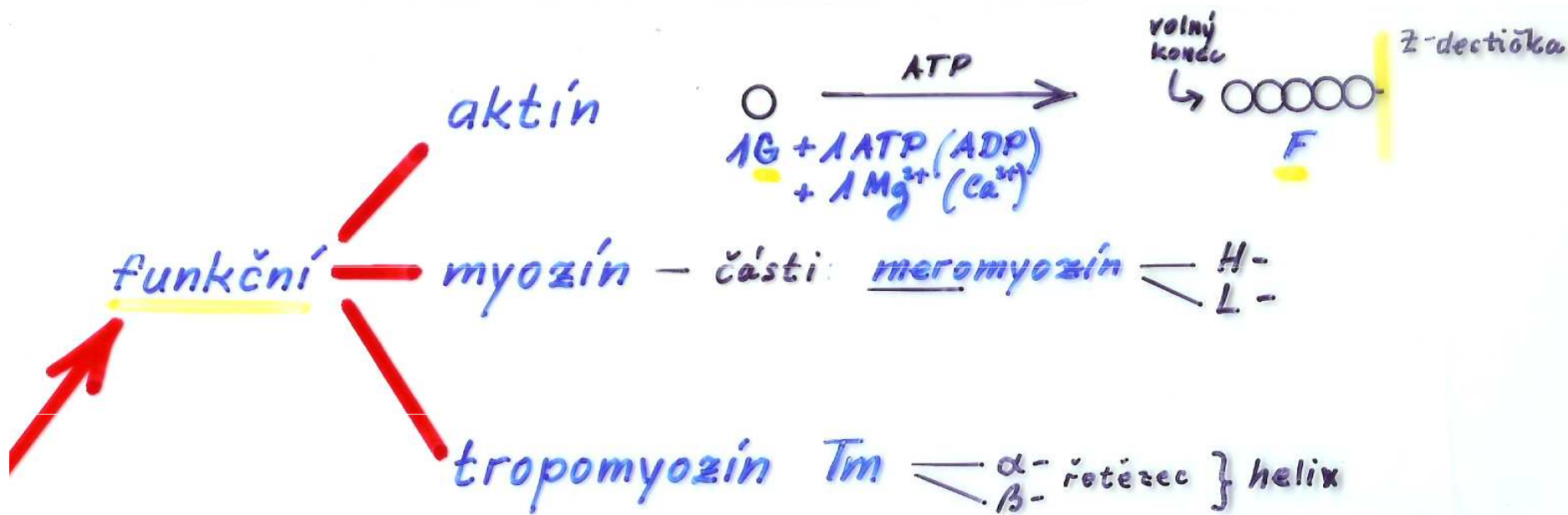


Svaly - typy, morfologické rozdíly, struktura myofibril, filamenta a jejich proteinové komponenty. Energetika svalové kontrakce. Biochemická diagnostika infarktu myokardu.



a.j.



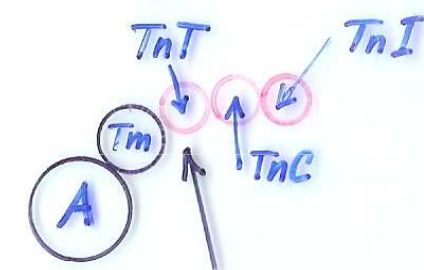


Bílkoviny svalu

↓
regulační

troponin
troponinový komplex
TnT
TnI
TnC
kalmodulin

a.j.

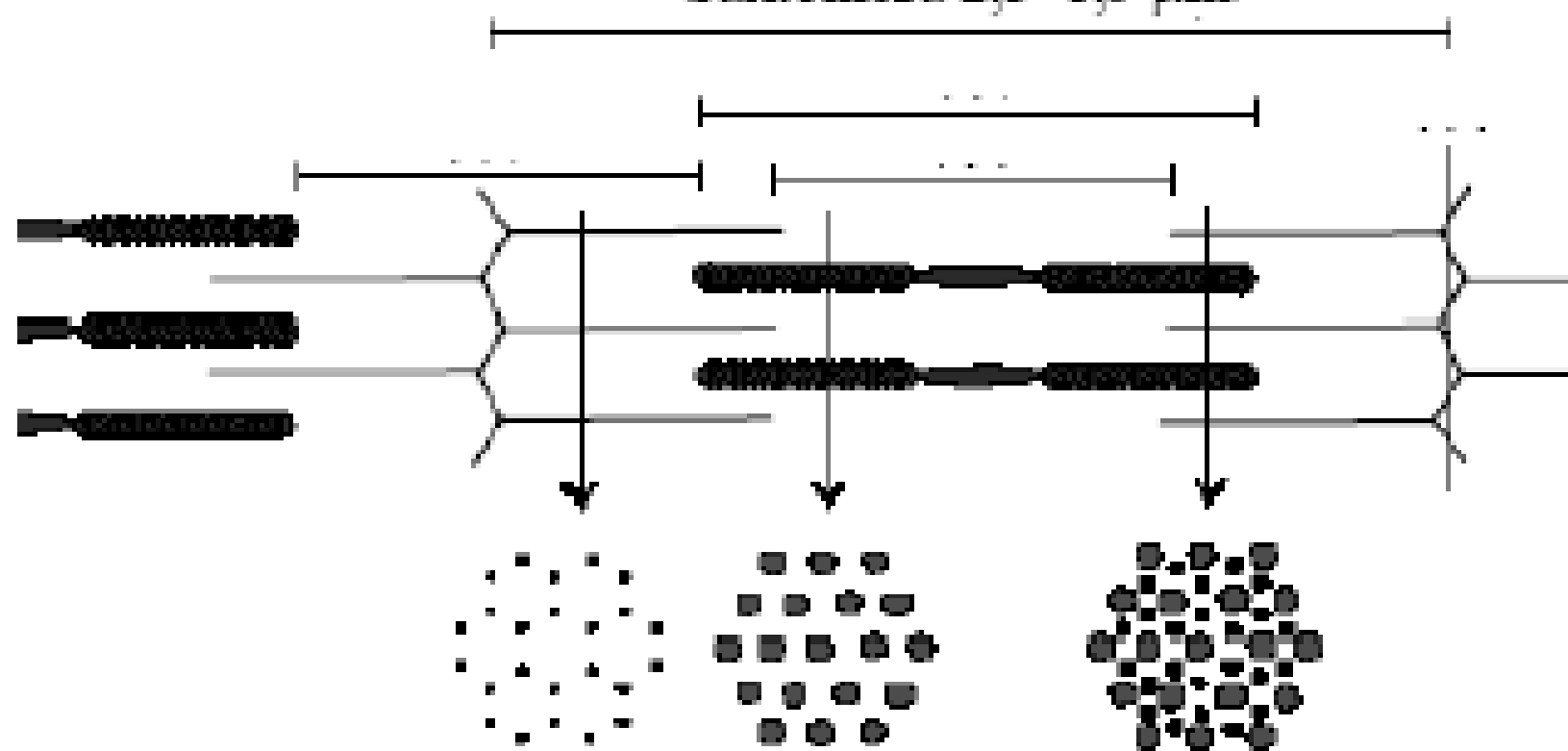


váže se na tropomyosín, Tm

inhibitor aktin-dependentní (myozinové) ATPázy

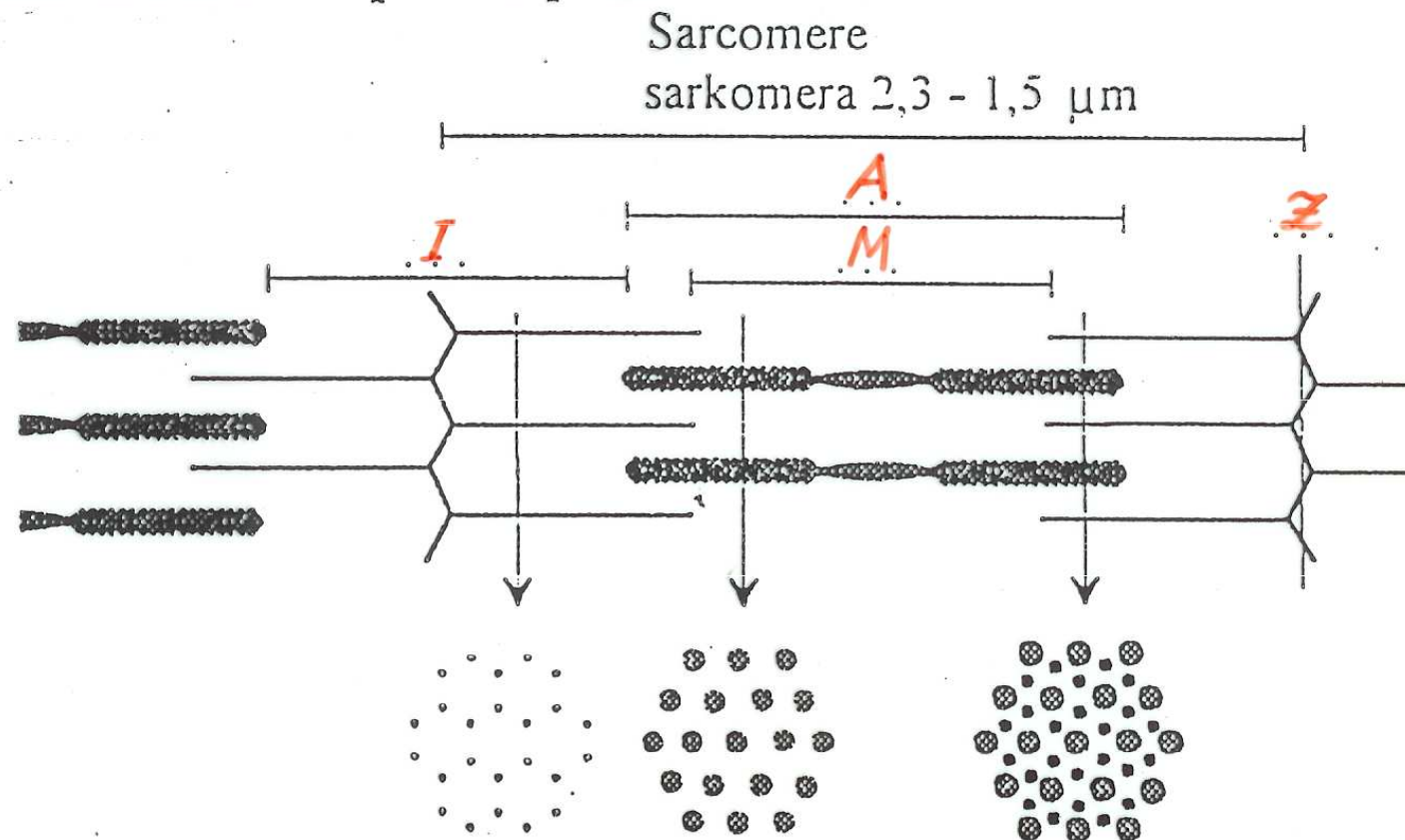
váže Ca^{2+} - $1 \text{TnC} + 4 \text{Ca}^{2+}$

Sarkomera 2,3–1,5 μm

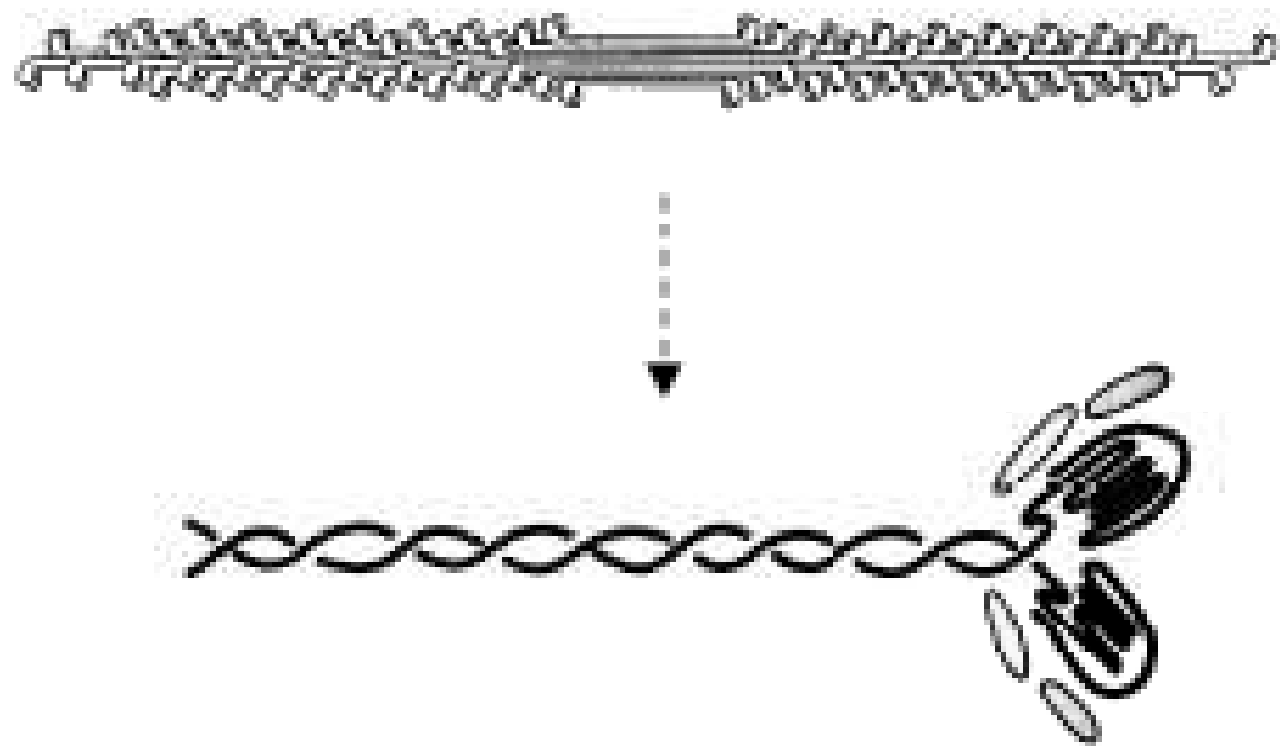


Arrangement of Filaments in Skeletal Muscle (*striated muscle*)

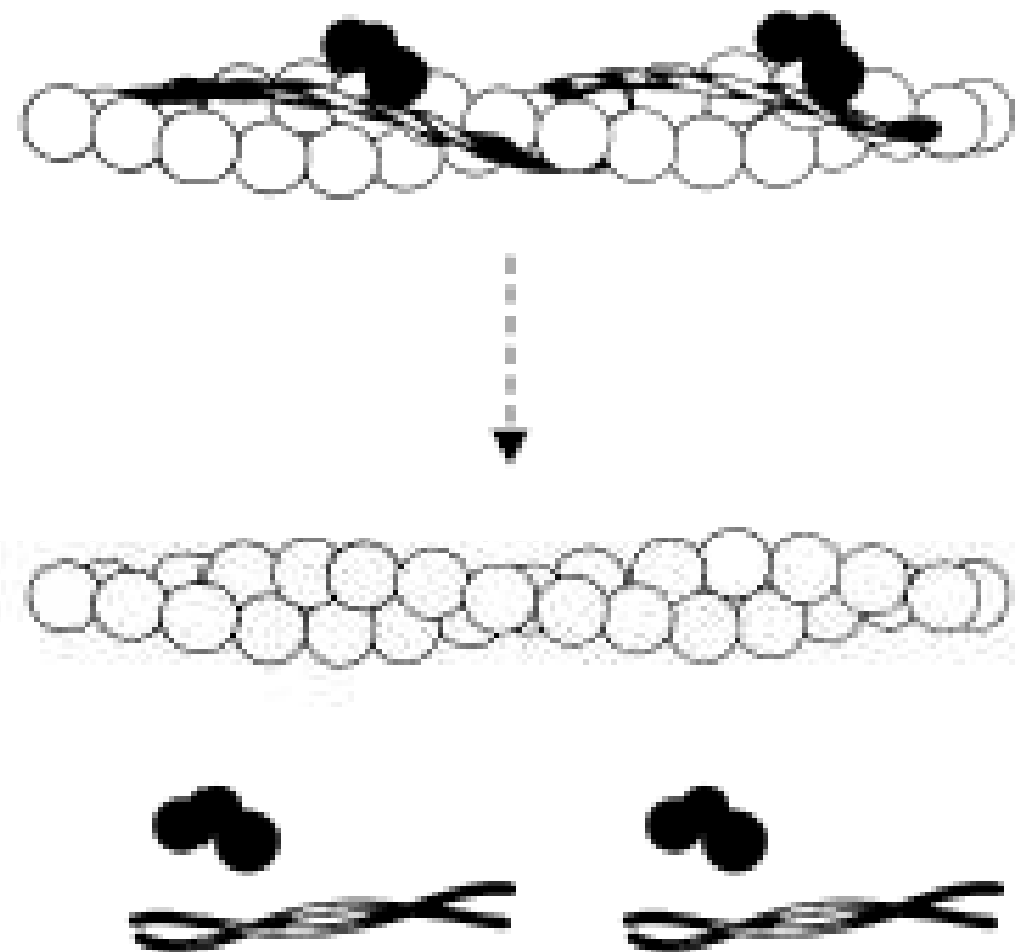
Uspořádání filament v příčně pruhovaném svalu



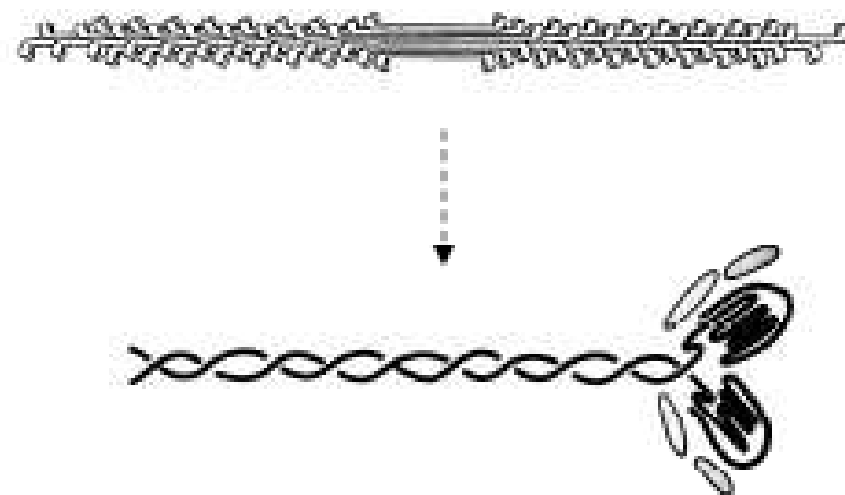
Myosinové filamentum



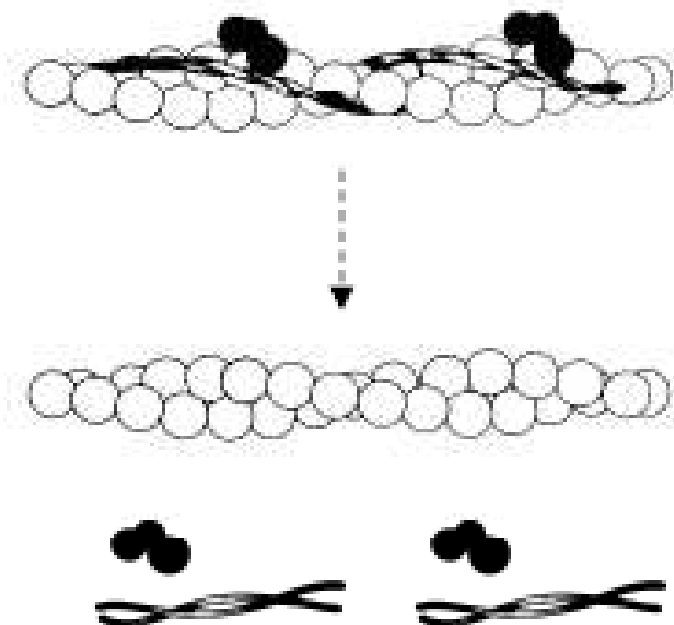
Aktinové filamentum



Myosinové filamentum

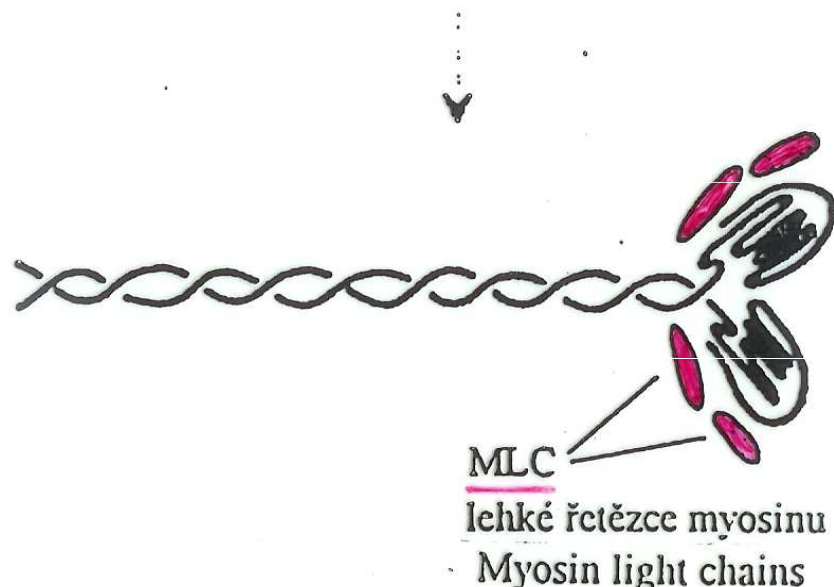


Aktinové filamentum



Thick filament

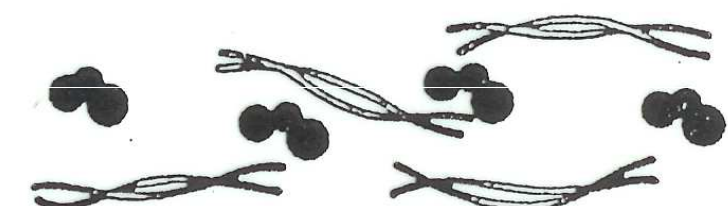
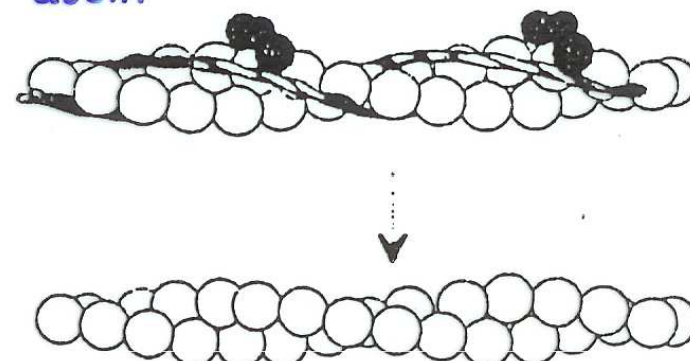
Myosinové filamentum



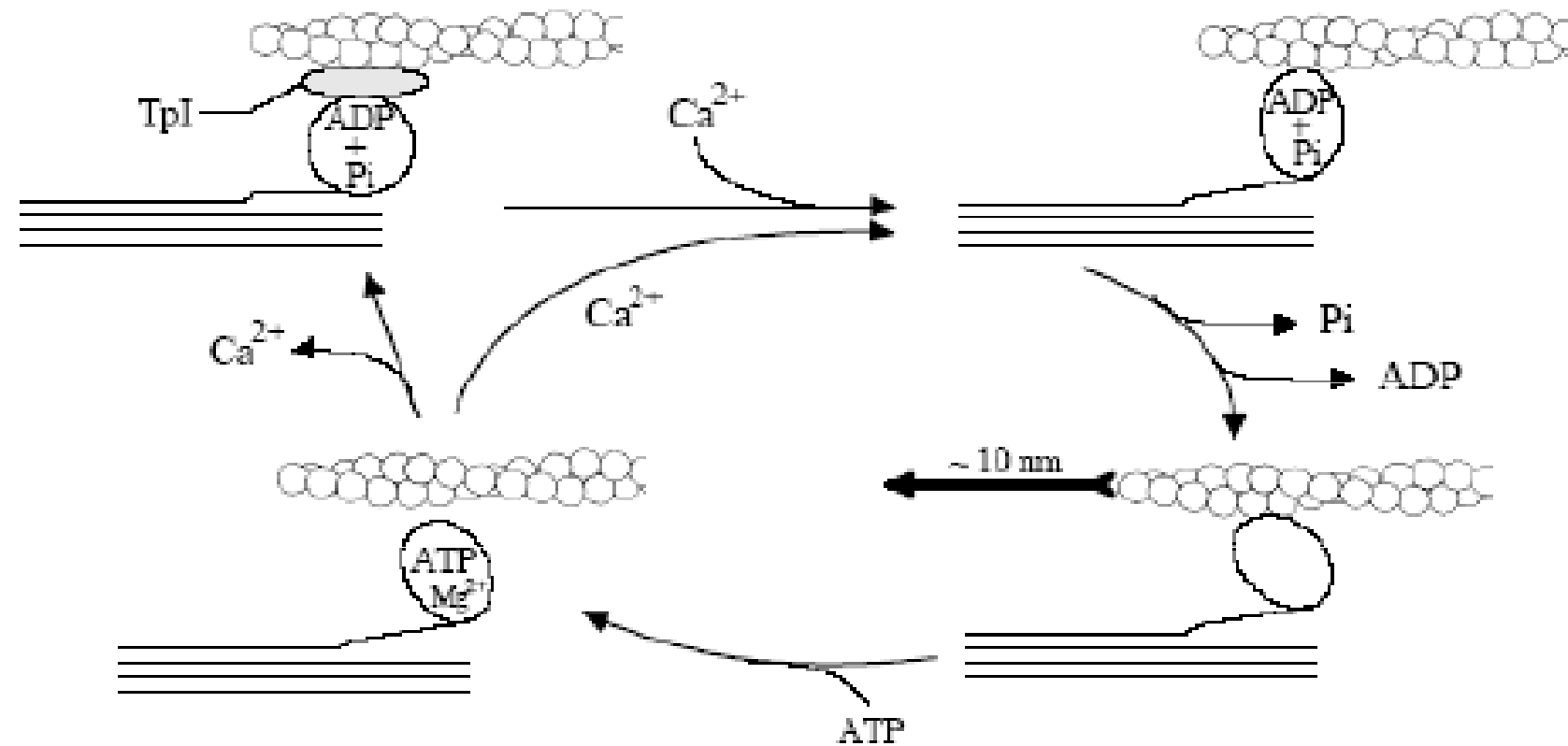
Thin filament

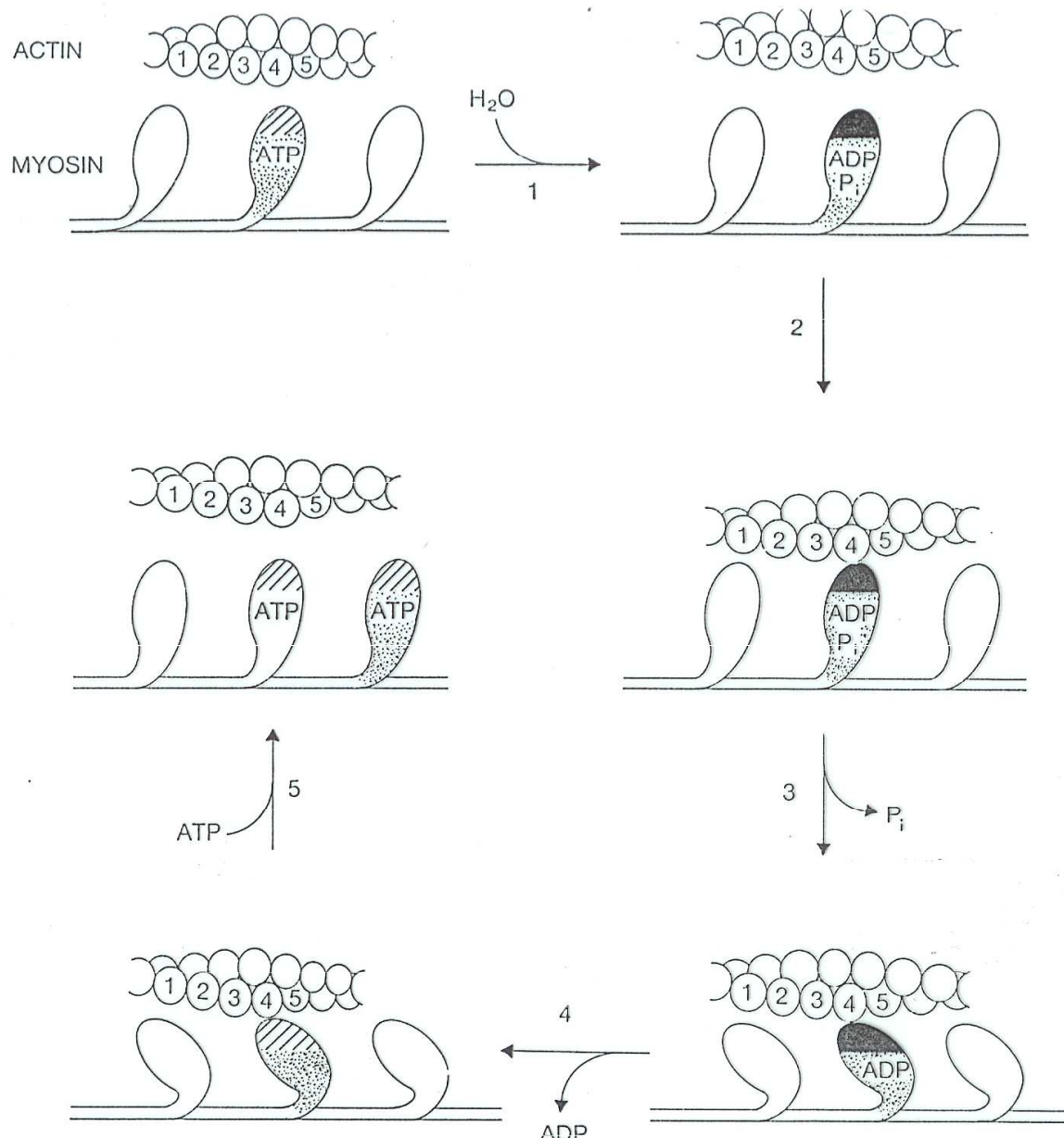
Aktinové filamentum

actin

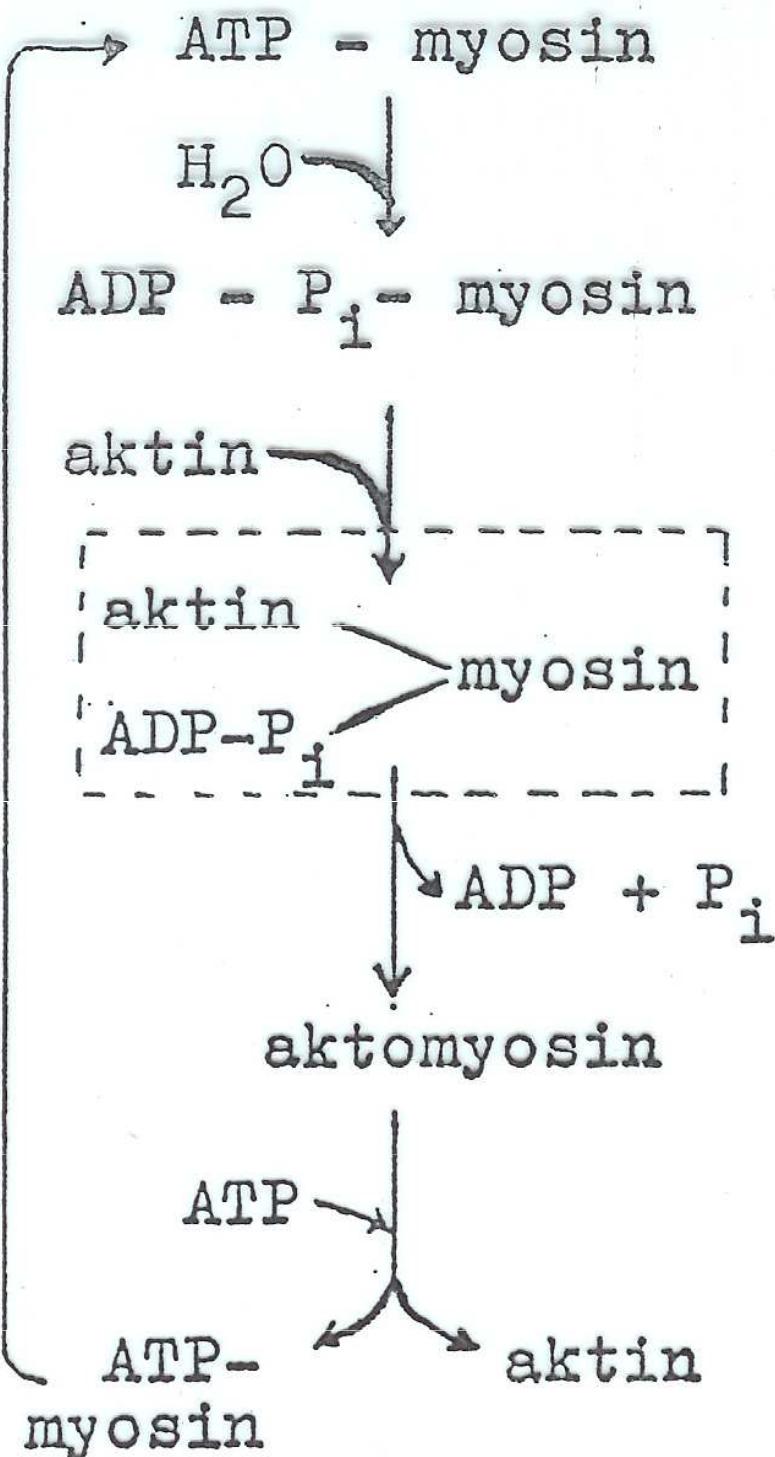


Kontrakce kosterního a srdečního svalu

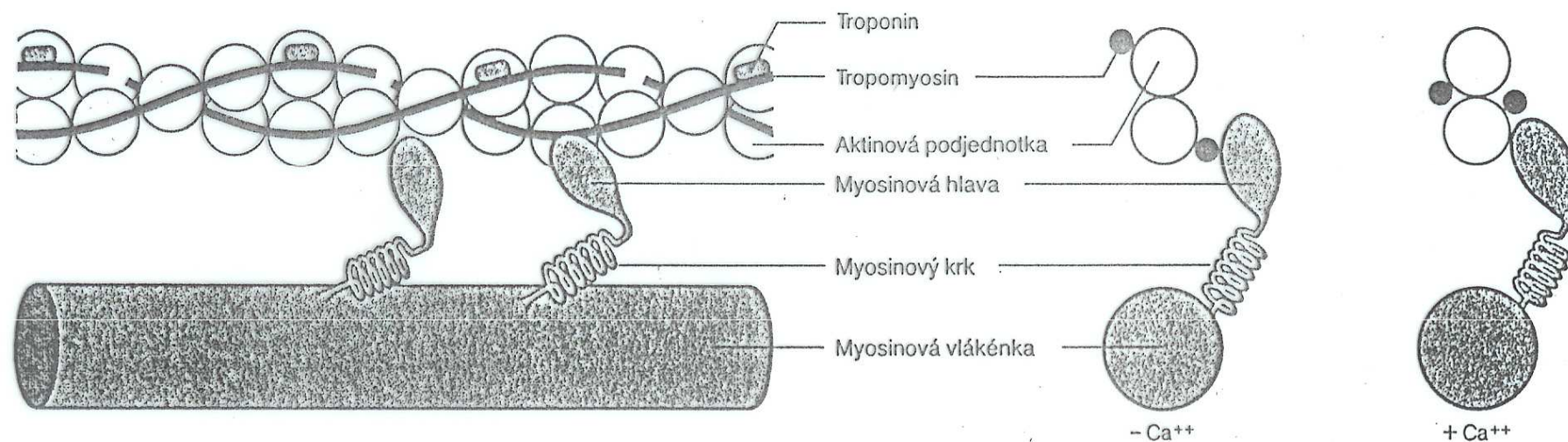




The contraction cycle.

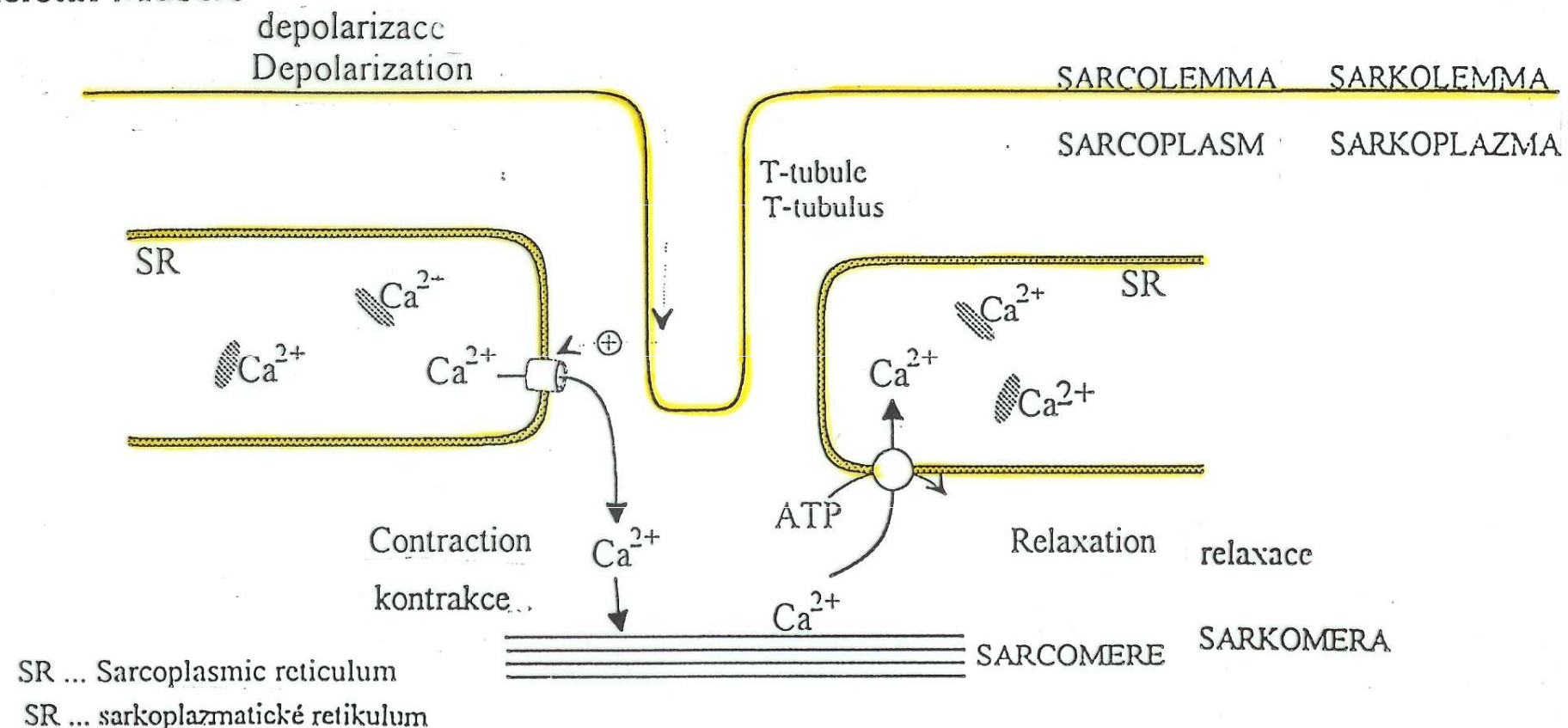


Přepínač Ca^{++}



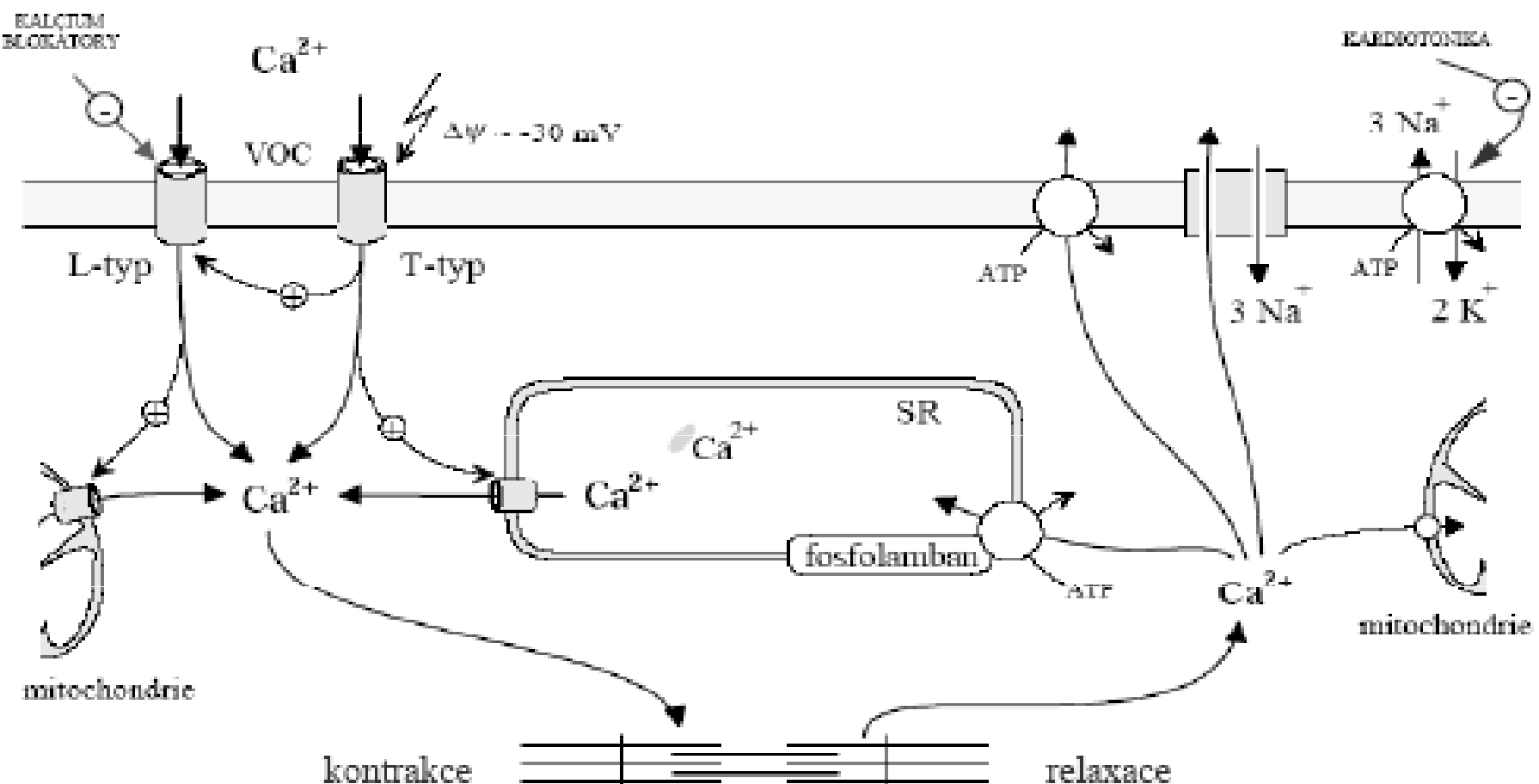
Kosterní sval

Skeletal Muscle



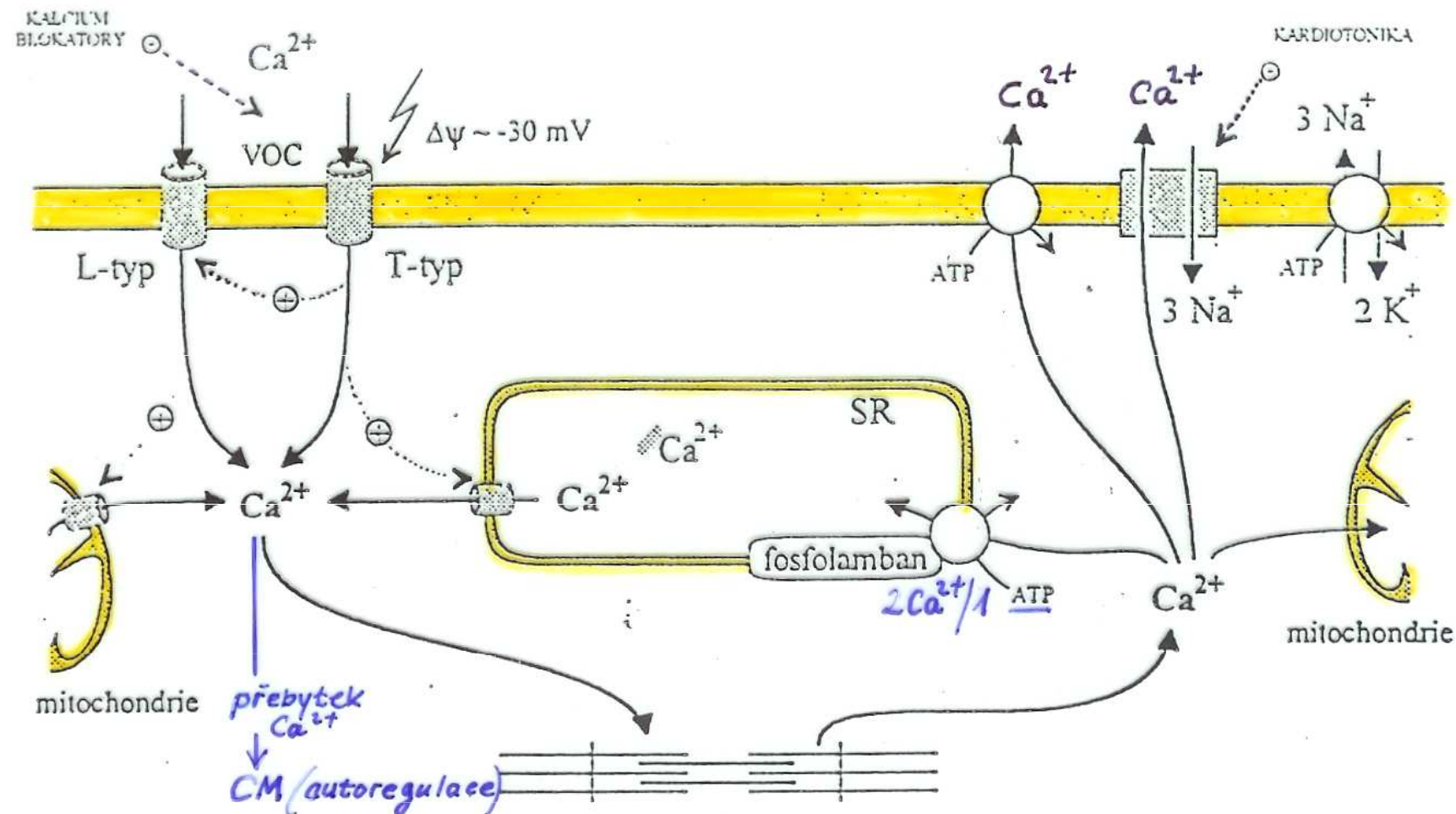
Typ vláken	Obsah myoglobinu	Obsah mitochondrií	Kontrakce	Zdroj energie
červené	pomalá
bílé	rychlá	anaerobní glykolýza
smešené	<i>smešený charakter</i>			

Zdroj a eliminace Ca^{2+} v sarkoplazmě srdečního svalu

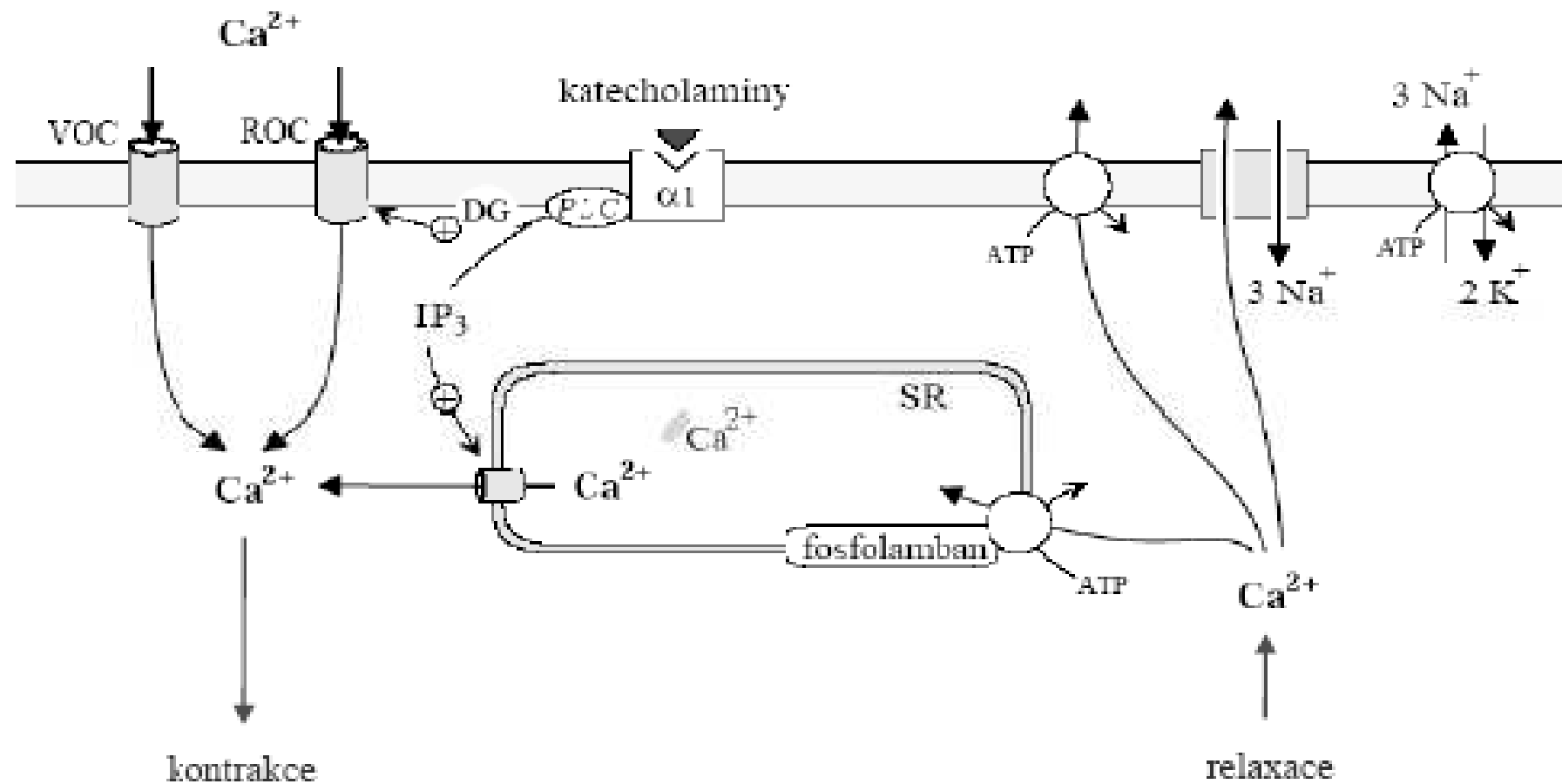


VOC (voltage operated channels) ... napěťově řízené kanály

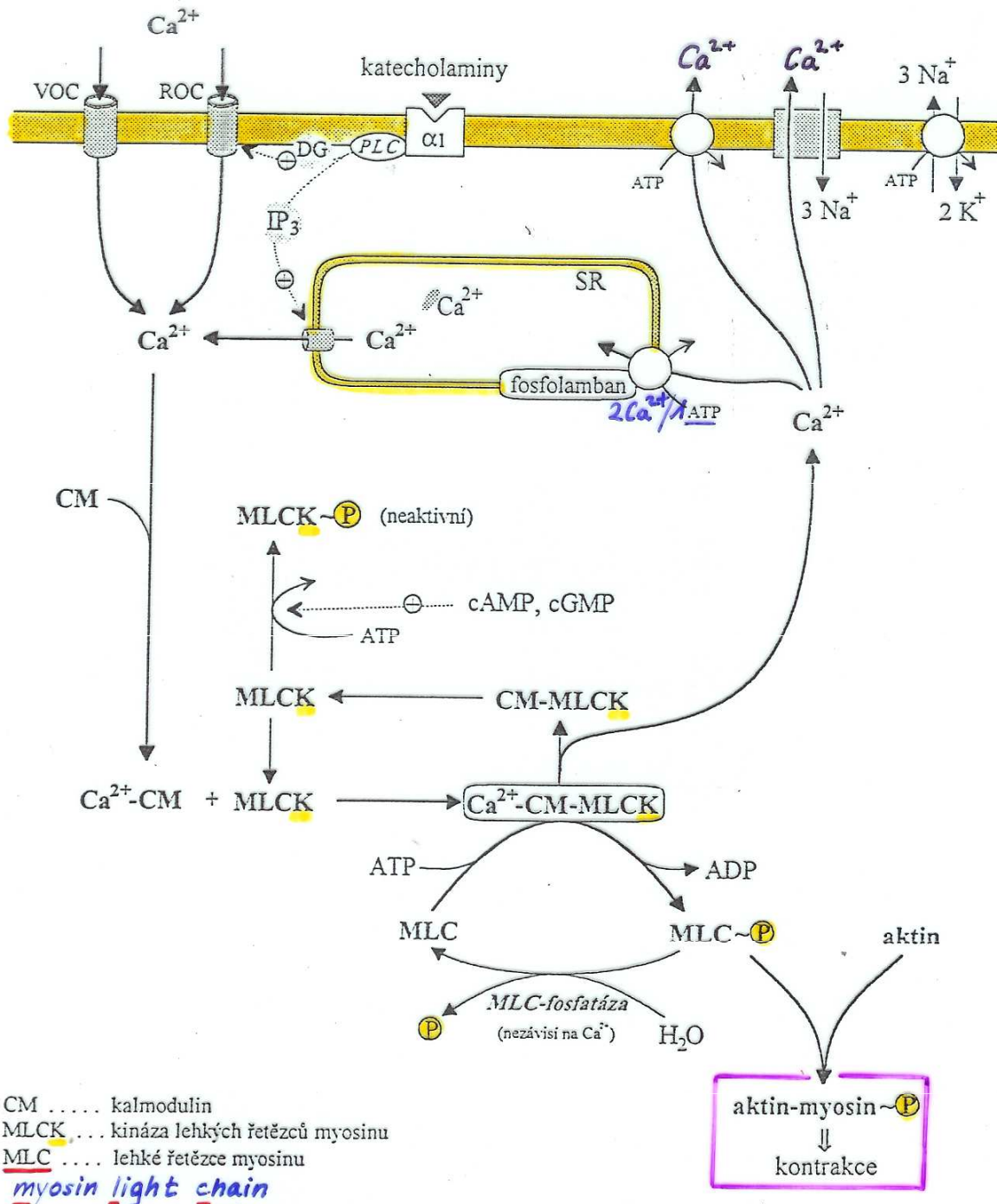
Srdeční sval

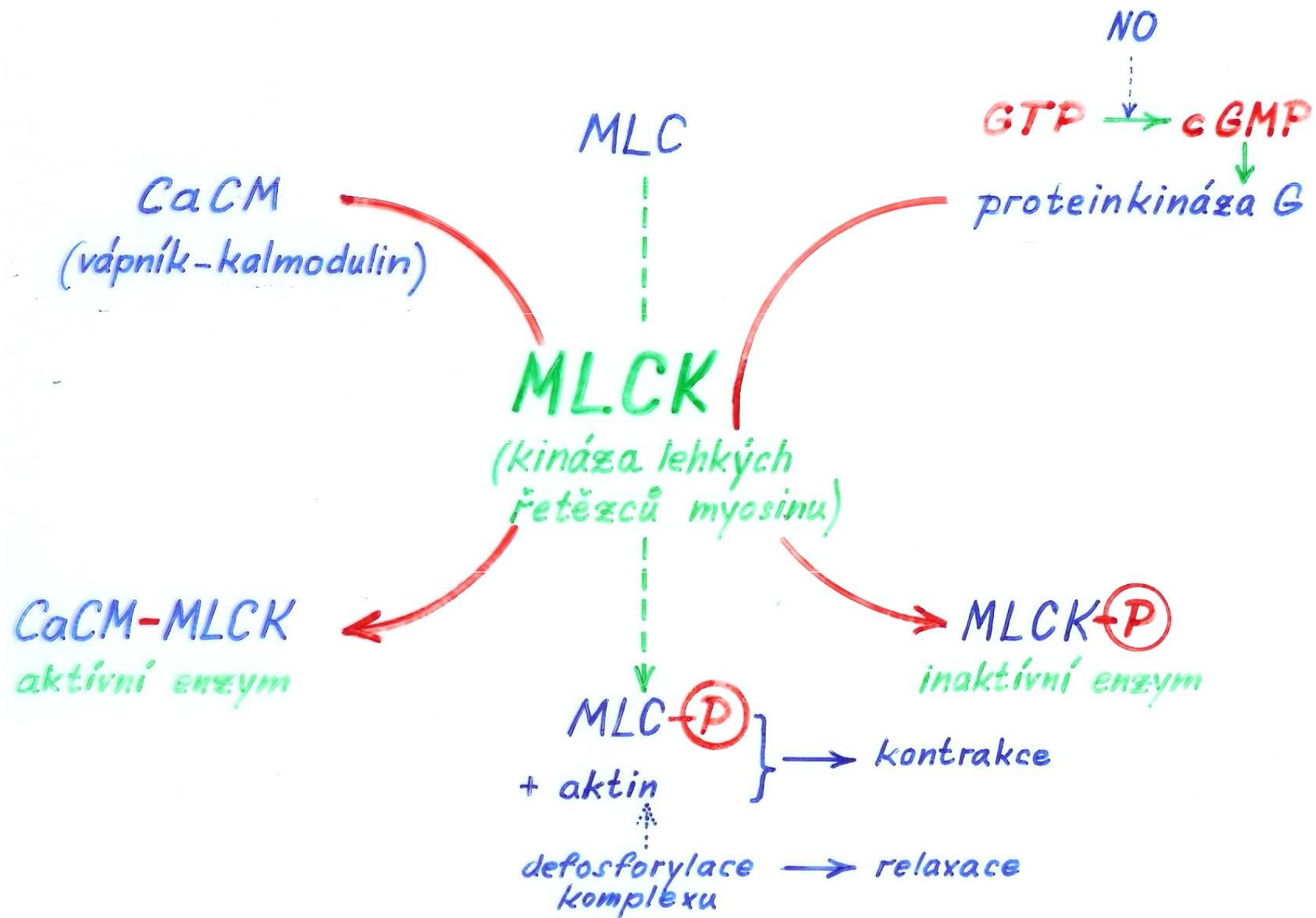


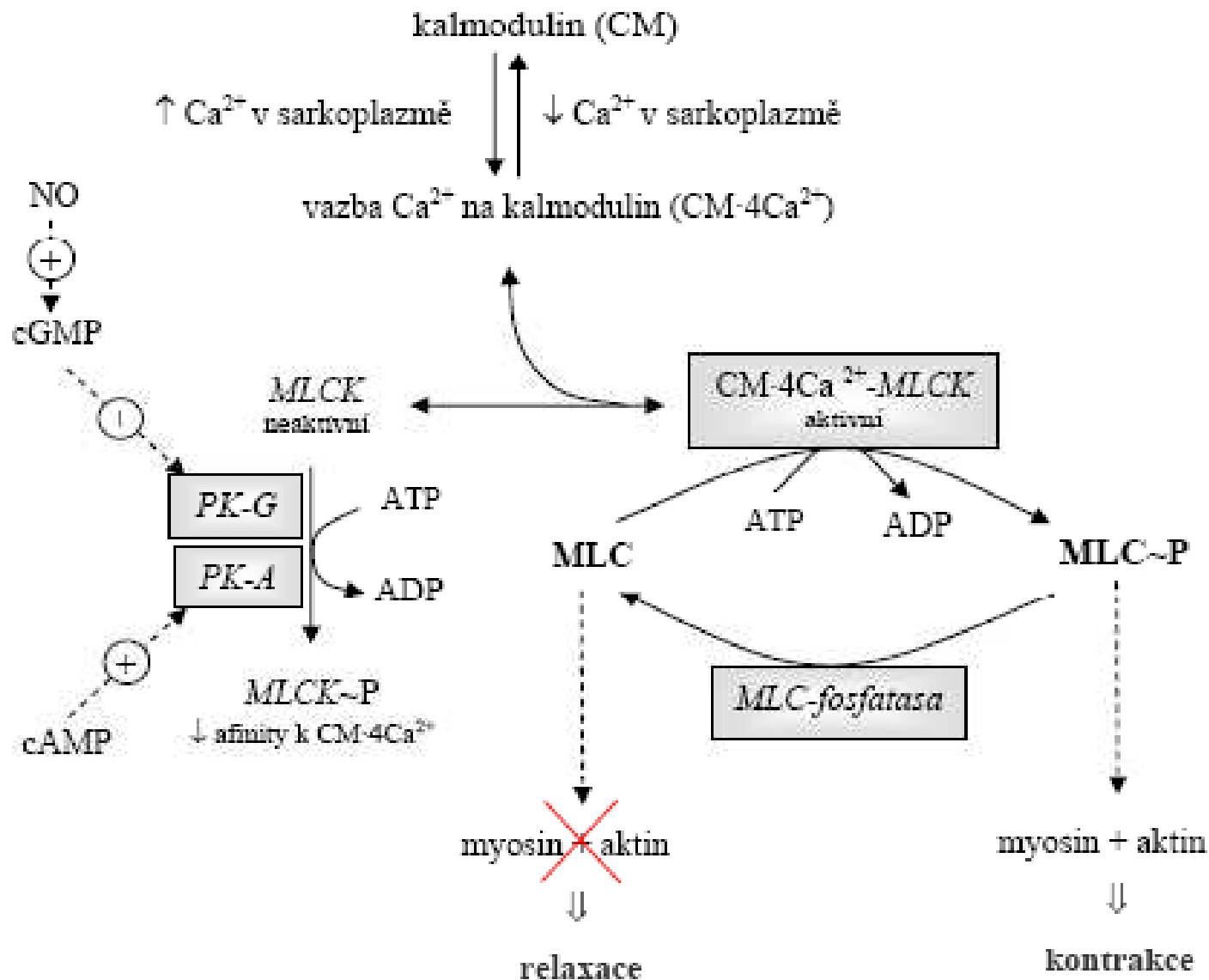
Zdroj a eliminace Ca^{2+} v sarkoplazmě hladkého svalu



Hladký sval







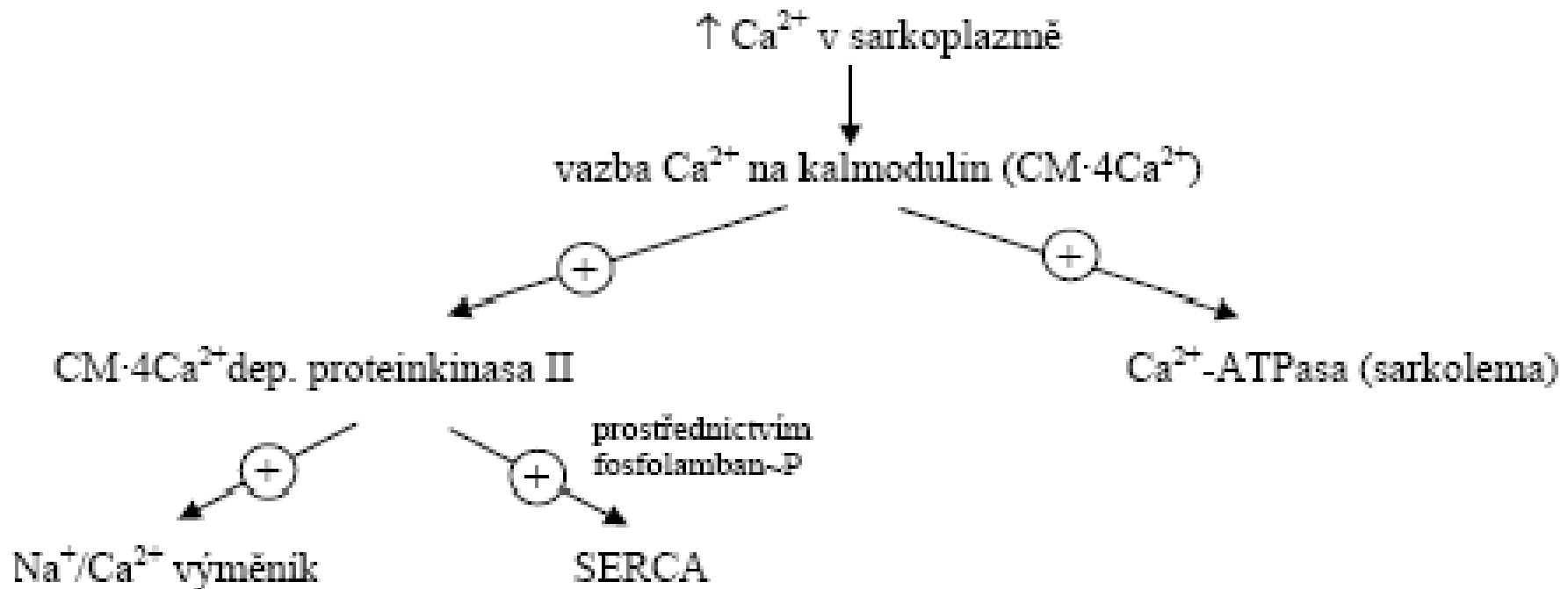
MLCK (myosin light chain kinase) kinasa myosinového lehkého řetězce; MLC lehký řetězec myosinu;

	Kosterní sval	Srdeční sval	Hladký sval
Společné rysy		interakce F-aktinu s myosinem ↑ Ca ²⁺ v sarkoplazmě	
Odlišné rysy			
• zdroj Ca ²⁺ + + ...
• účinek Ca ²⁺		$4 \text{ Ca}^{2+} \rightarrow \text{TpC}$ \downarrow změna konformace Tp-systému \downarrow odkrytí místa vazby na F-aktinu \downarrow KONTRAKCE	$4 \text{ Ca}^{2+} \rightarrow \text{kalmodulin}$ \downarrow aktivace \downarrow fosforylace myosinu \downarrow KONTRAKCE
• inhibitor interakce F-aktin-myosin	
• relaxace	$\downarrow \Delta\psi$ \downarrow aktivace Ca ²⁺ -ATPas	$\uparrow \text{Ca}^{2+}$ \downarrow aktivace Ca ²⁺ -ATPas $\Rightarrow \downarrow \text{Ca}^{2+}$ zprostředkováno Ca ²⁺ -kalmodulinem	
• regulační vliv cAMP	fosforylace proteinů aktivace ... $\Rightarrow \uparrow \text{Ca}^{2+}$ aktivace ... $\Rightarrow \downarrow \text{Ca}^{2+}$ MODULACE	fosforylace MLCK \downarrow \downarrow RELAXACE
• účinek NO	

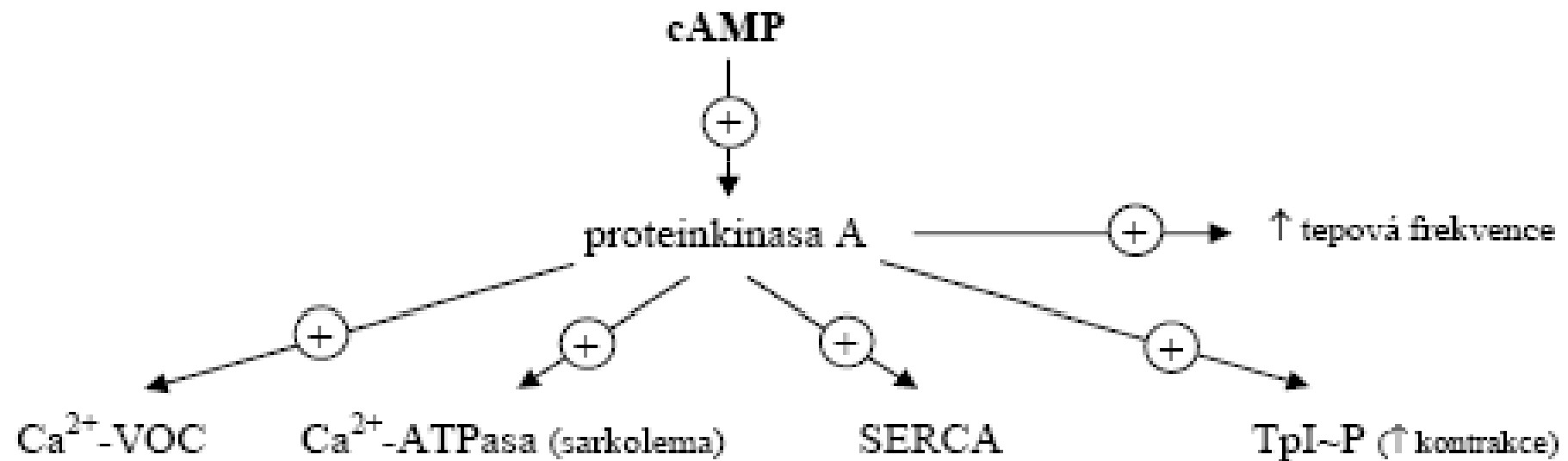
Některé rysy svalových buněk

	Kosterní sval	Srdceční sval	Hladký sval
Společné rysy			
<ul style="list-style-type: none"> mechanismus kontrakce aktivace kontrakce 		interakce aktinu s myosinem $\uparrow \text{Ca}^{2+}$ v sarkoplazmě	
Odlišné rysy	SR	SR + ECT	SR + ECT
<ul style="list-style-type: none"> zdroj Ca^{2+} účinek Ca^{2+} 		$4 \text{ Ca}^{2+} \rightarrow \text{troponin C}$ \downarrow změna konformace troponinového systému \downarrow odkrytí místa vazby na F-aktinu	$4 \text{ Ca}^{2+} \rightarrow \text{kalmodulin}$ \downarrow <u>aktivace MLCK</u> \downarrow fosforylace myosinu
<ul style="list-style-type: none"> relaxace 	$\downarrow \Delta\psi$ $\Rightarrow \text{Ca}^{2+} \text{ATPáza}$	$\uparrow \text{Ca}^{2+} \Rightarrow$ aktivace $\text{Ca}^{2+} \text{ATPáza} \Rightarrow \downarrow \text{Ca}^{2+}$ zprostředkované Ca^{2+} -kalmodulinem	
<ul style="list-style-type: none"> regulační vliv cAMP 	žádný	fosforylace proteinů aktivace VOC $\Rightarrow \uparrow \text{Ca}^{2+}$ aktivace $\text{Ca}^{2+} \text{ATPáza} \Rightarrow \downarrow \text{Ca}^{2+}$ MODULACE	fosforylace aktivace <u>MLCK</u> $=$ <u>inaktivace</u> RELAXACE
<ul style="list-style-type: none"> účinek NO 		nereagují	relaxační

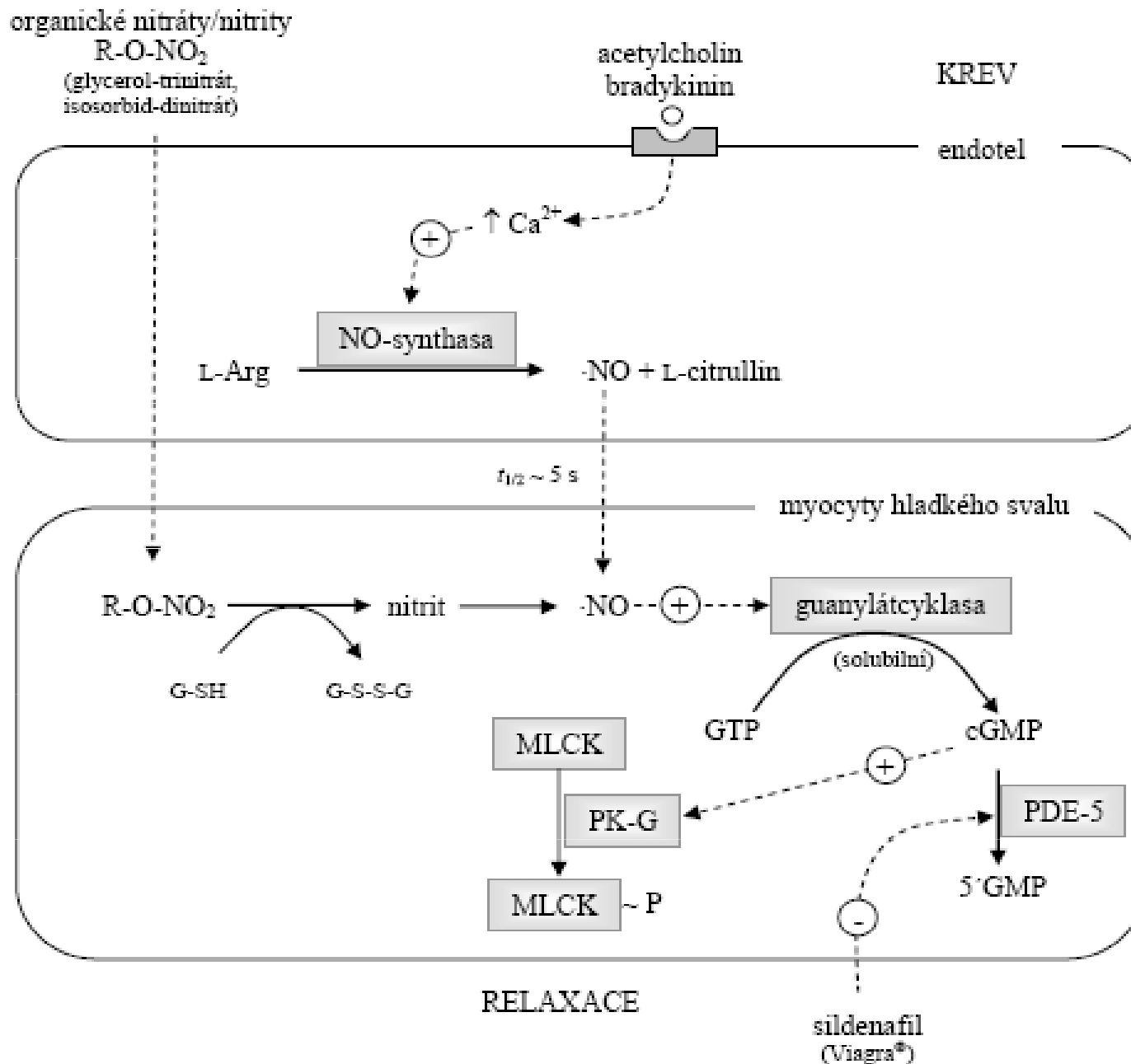
Regulace zpětného transportu Ca^{2+}



Modulační účinek cAMP na srdeční svalovou činnost

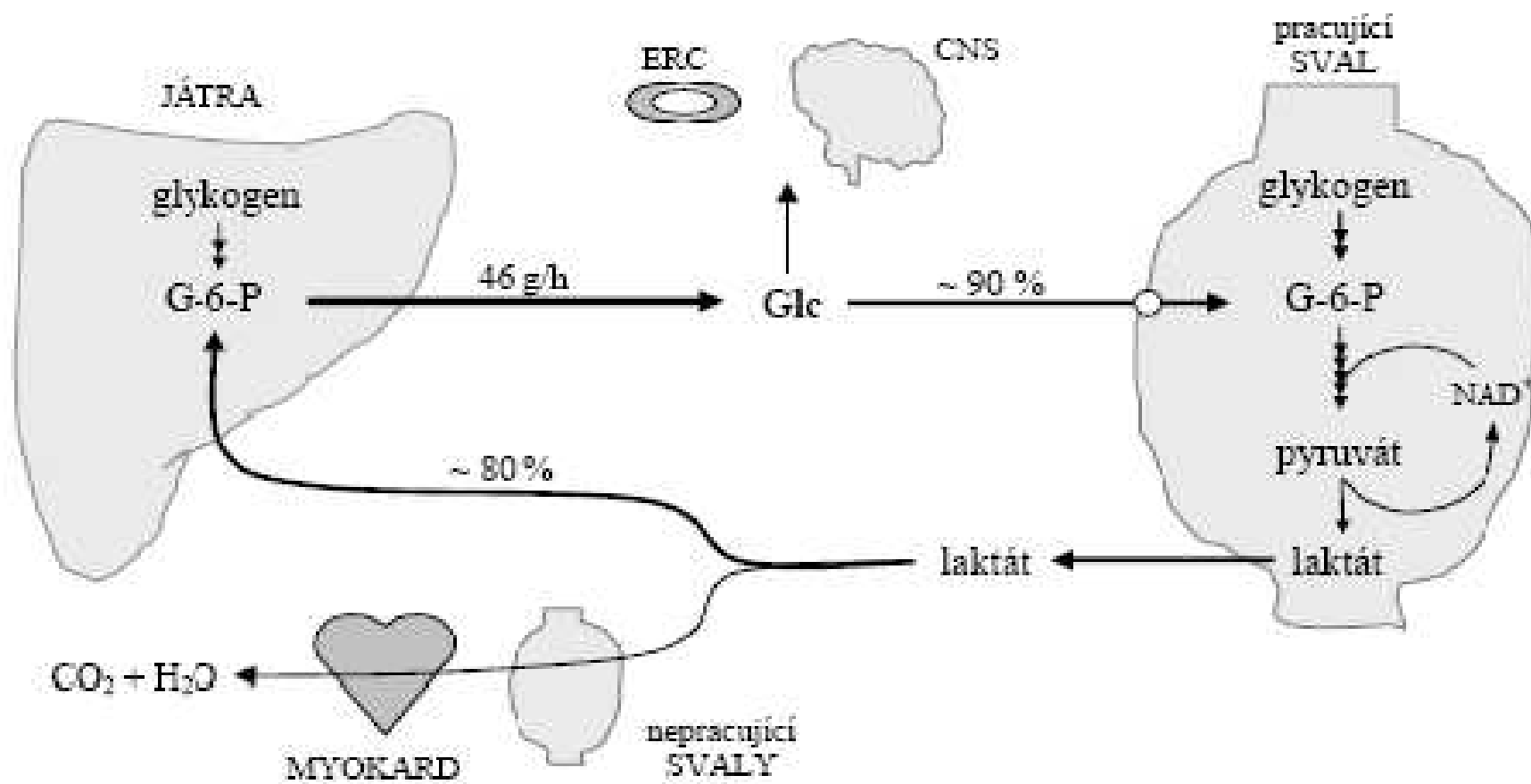


Účinek oxidu dusnatého (NO, nitroxidu) na hladký sval

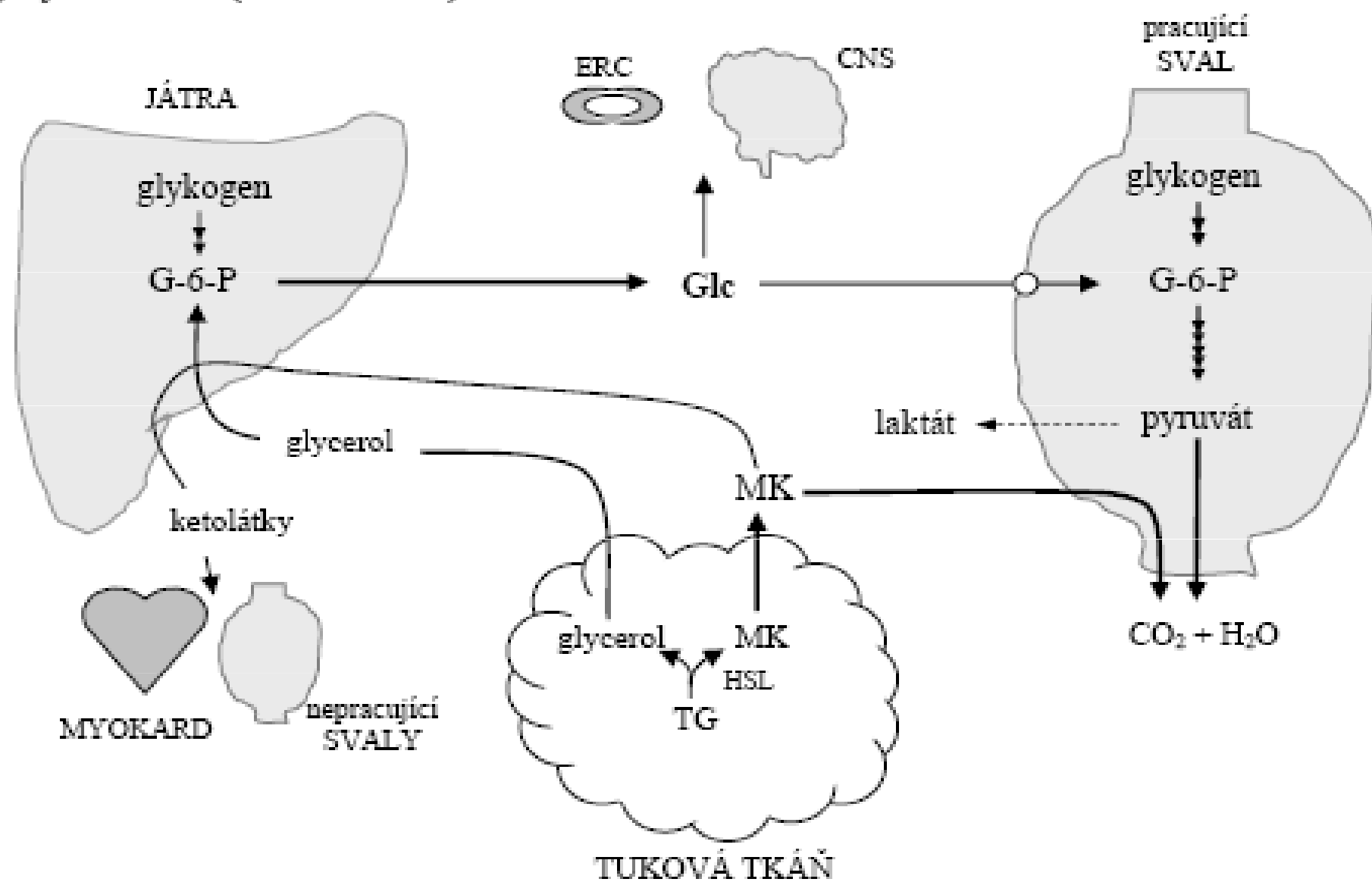


Svalová práce

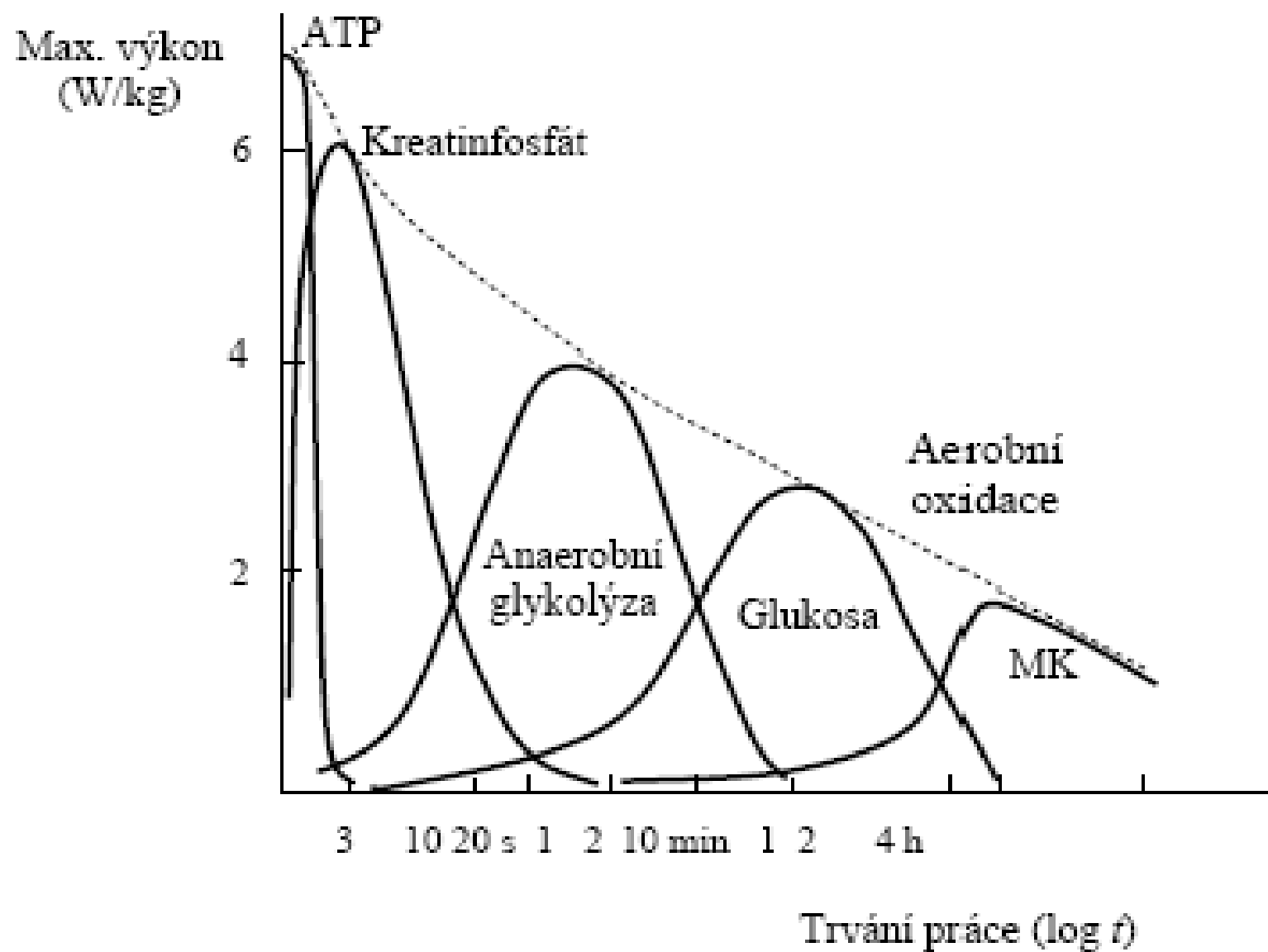
a) maximální intenzita (anaerobní fáze, krátkodobě 0,5–2 min)

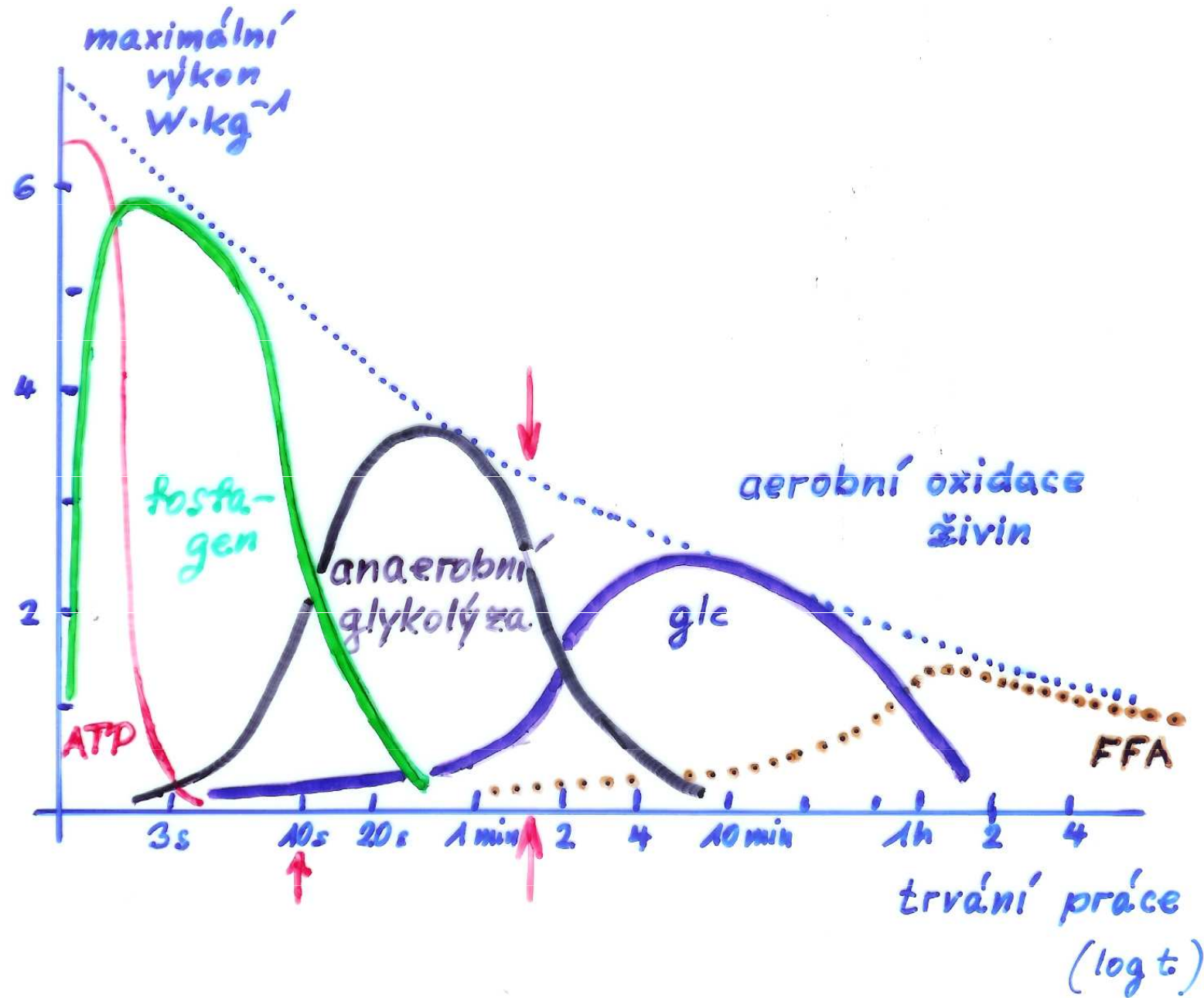


b) vytrvalecká (aerobní fáze)

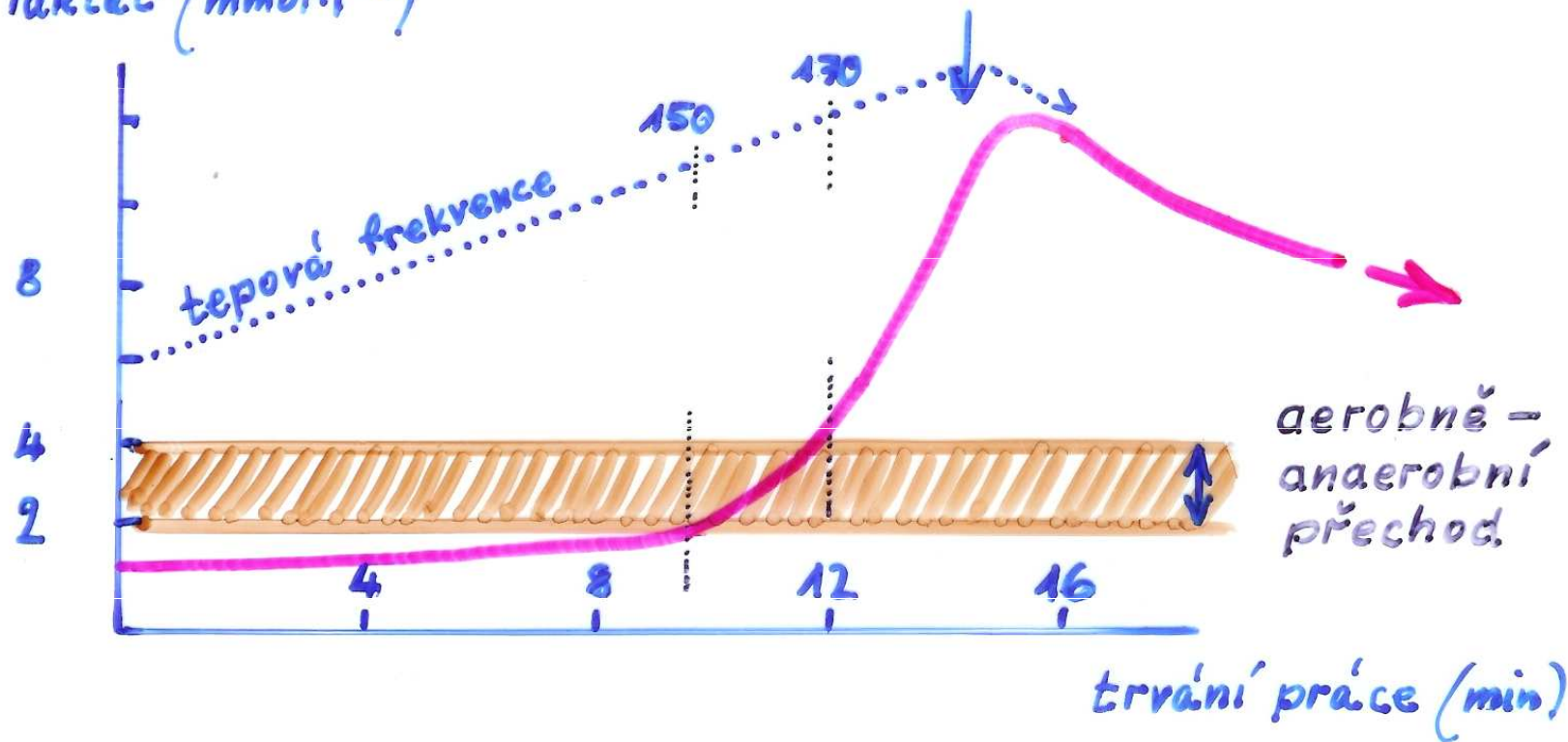


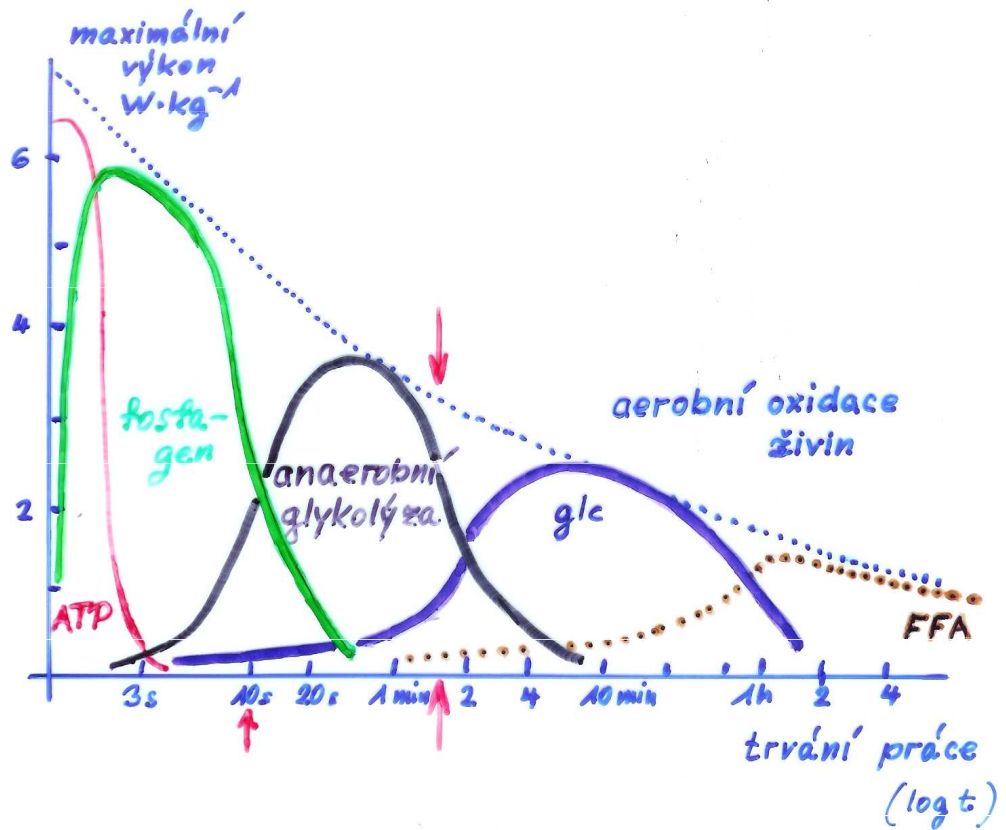
Využití energetických zdrojů při svalové práci



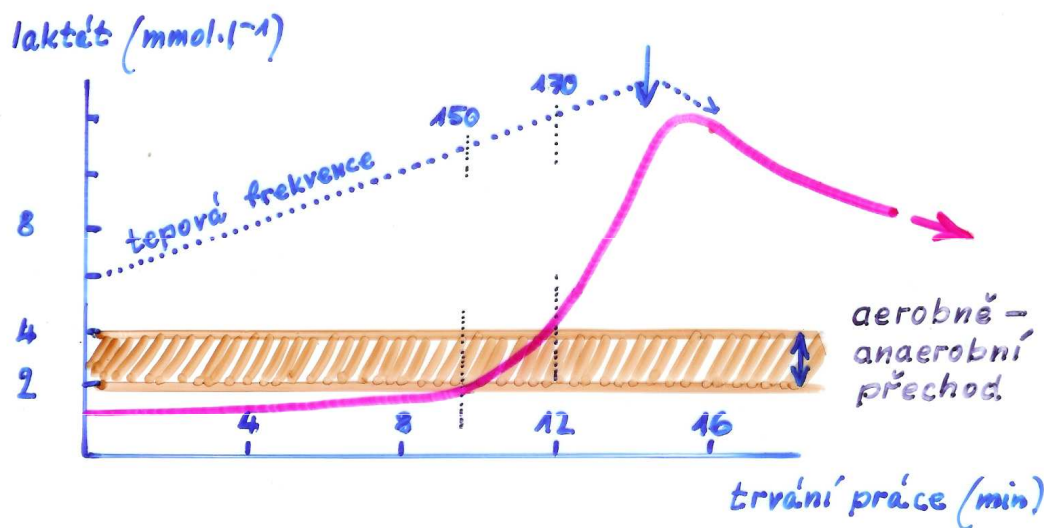


laktát ($\text{mmol} \cdot \text{l}^{-1}$)



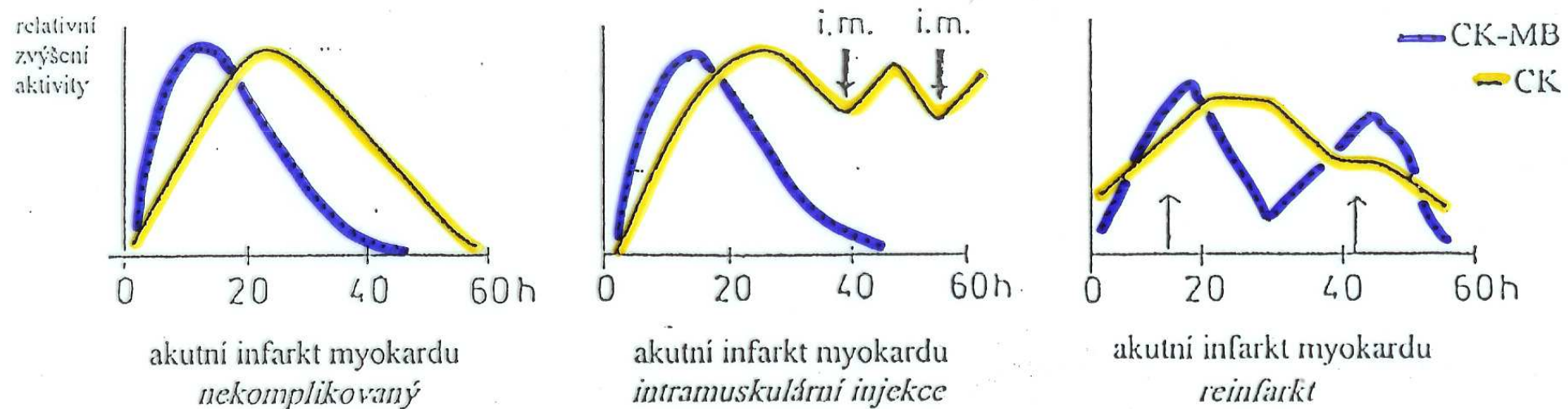


Stupňovitě zvyšovaný výkon



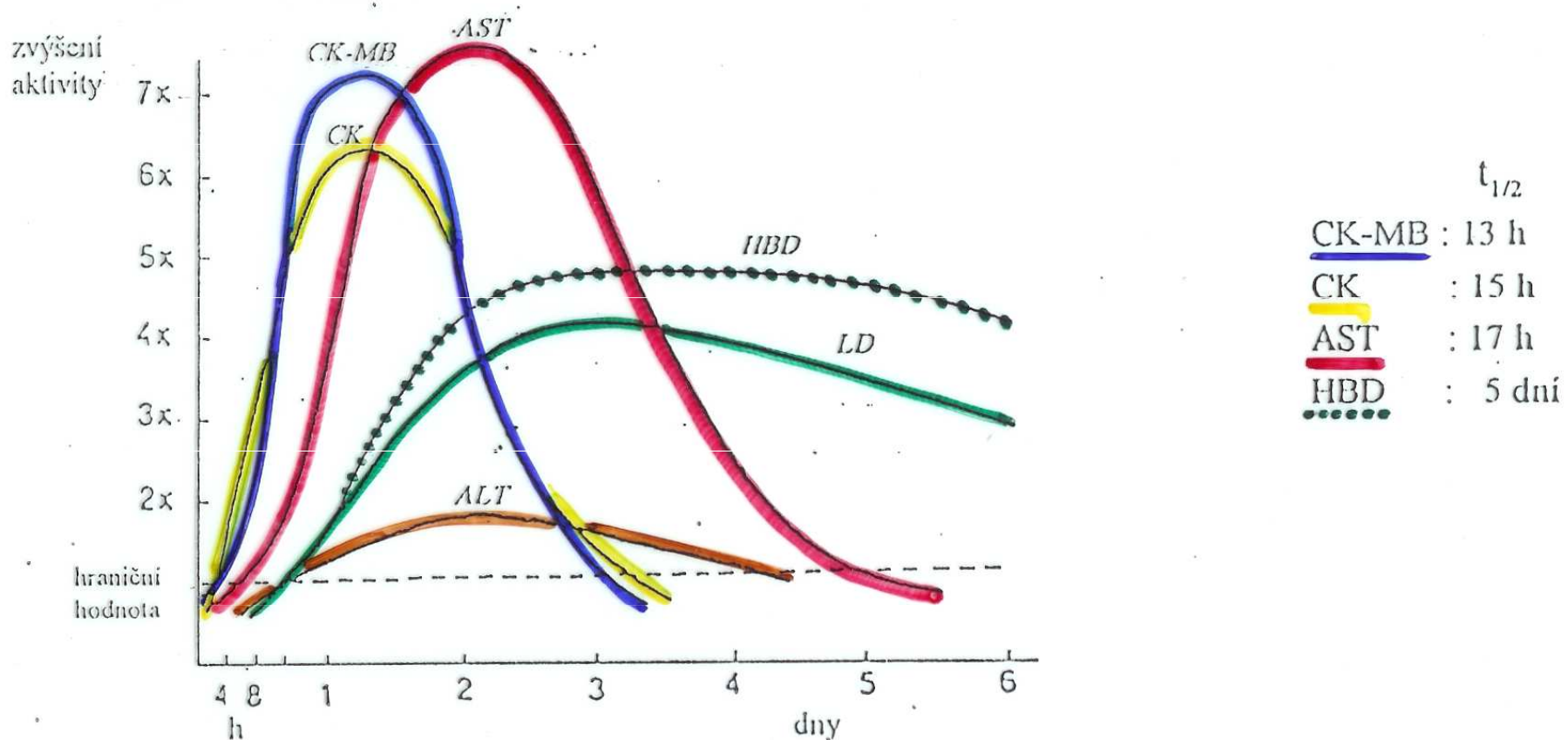
	Začátek vzestupu (h)	Maximum (h)	Návrat k normě (dny)	Násobek zvýšení
<i>CK-MB</i>	3 - 6	16 - 32	2 - 3	2 - 30
<i>CK</i>	4 - 8	16 - 36	3 - 6	2 - 25
<i>AST</i>	4 - 8	16 - 48	3 - 6	2 - 25
<i>HBD</i>	6 - 12	30 - 72	10 - 20	2 - 8
<i>LD</i>	8 - 12	24 - 60	7 - 15	2 - 8

Relativní změny aktivity *CK* a *CK-MB* v krvi

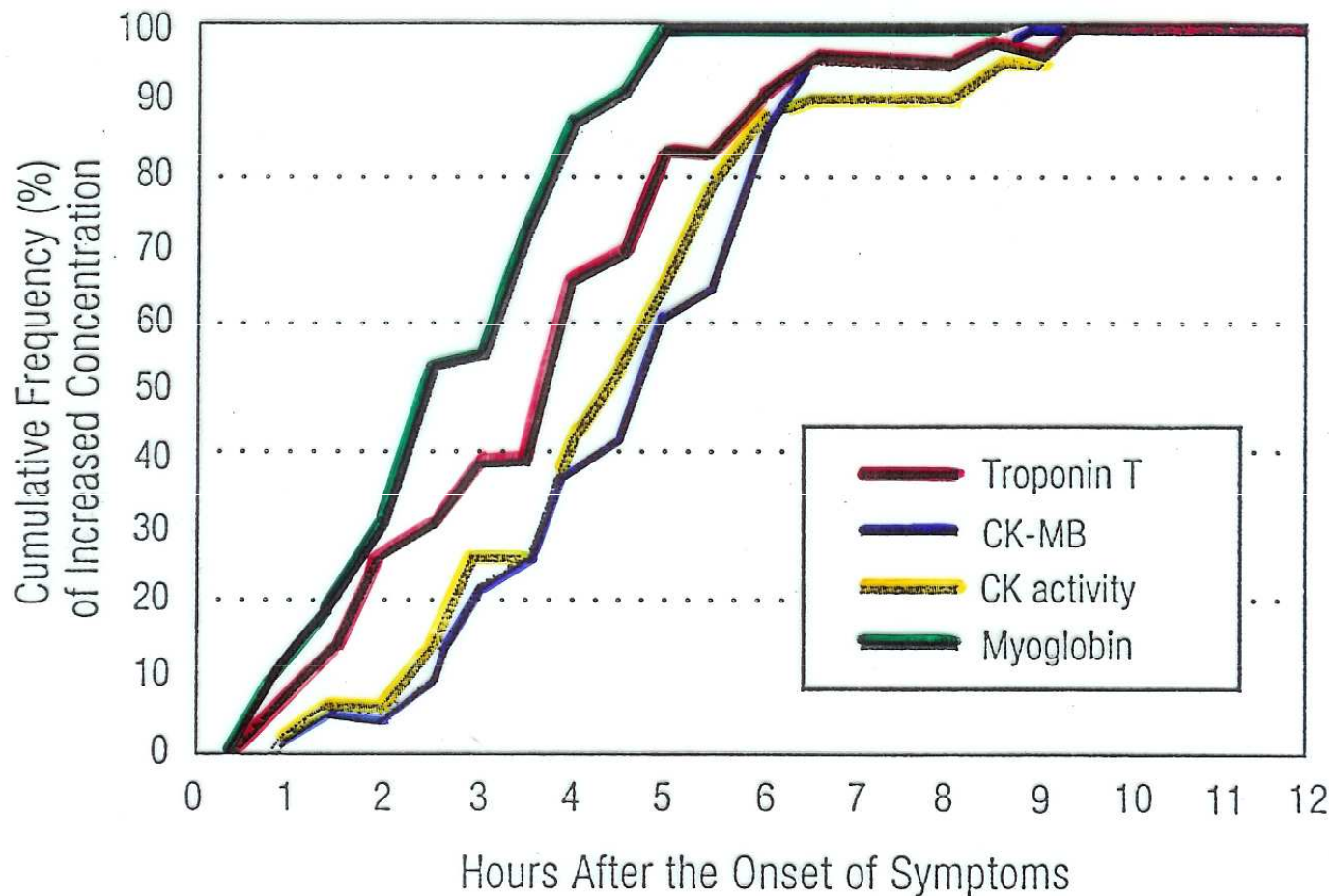


Enzymová diagnostika infarktu myokardu

Relativní změny aktivity enzymů v krvi



Troponin T: a comparison to other biochemical markers



Diagnostic sensitivity of cardiac troponin T, myoglobin, CK and CK-MB activity during the first 12 hours after the onset of AMI symptoms ($n=72$). The lowest value for each interval was included in the calculation of the cumulative frequency of increased values.

